Международная конференция и школа молодых ученых по измерениям, моделированию и информационным системам для изучения окружающей среды: ENVIROMIS-2018, 5 – 11 июля 2018 г., г. Томск, Россия

Исследование процессов взаимодействия атмосферного пограничного слоя умеренных и высоких широт с деятельным слоем суши и водоемами: наблюдения, моделирование, параметризация

В.Н. Лыкосов^{1,2}, А.В. Глазунов^{1,2}, И.А. Репина^{3,2}, В.М. Степаненко², М.И. Варенцов², Е.В. Мортиков^{2,1}

¹Институт вычислительной математики имени Г.И. Марчука РАН,
²Московский государственный университет имени М.В. Ломоносова,
³Институт физики атмосферы имени А.М. Обухова РАН
E-mail: lykossov@yandex.ru

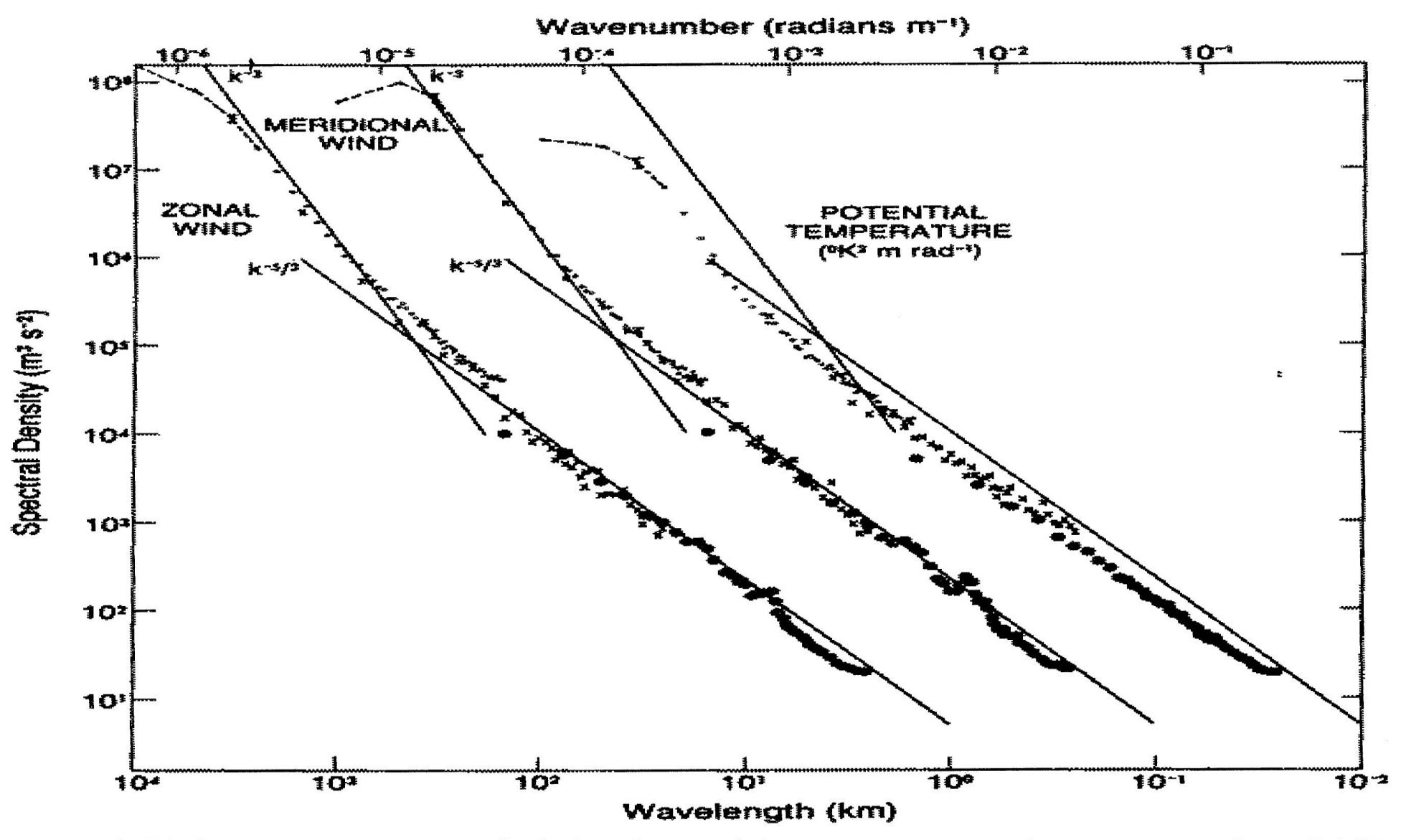


Fig. 1. Variance power spectra of wind and potential temperature near the tropopause from GASP aircraft data. The spectra for meridional wind and temperature are shifted one and two decades to the right, respectively; lines with slopes -3 and -5/3 are entered at the same relative coordinates for each variable for comparison. [Reproduced with permission from Nastrom and Gage (1985).]

Palmer T.N. Towards the probabilistic Earth-system simulator: a vision for the future of climate and weather prediction. - Quart. J. Roy. Meteorol. Soc., 2012, v. 138, no. 665, p. 841-861.

Масштаб времени:
$$\tau(k) \square k^{-3/2} E^{-1/2}(k)$$
, $[k] = M^{-1}$, $[E] = M^3 / c^2$

Пусть $\tau(k)$ характеризует время, за которое ошибки в спектральной компоненте модельного решения с волновым числом k за счет нелинейных взаимодействий повлияют на точность воспроизведения компоненты с волновым числом k/2. Пусть также k_L соответствует (условной) правой границе длинноволновой (крупномасштабной) части спектра.

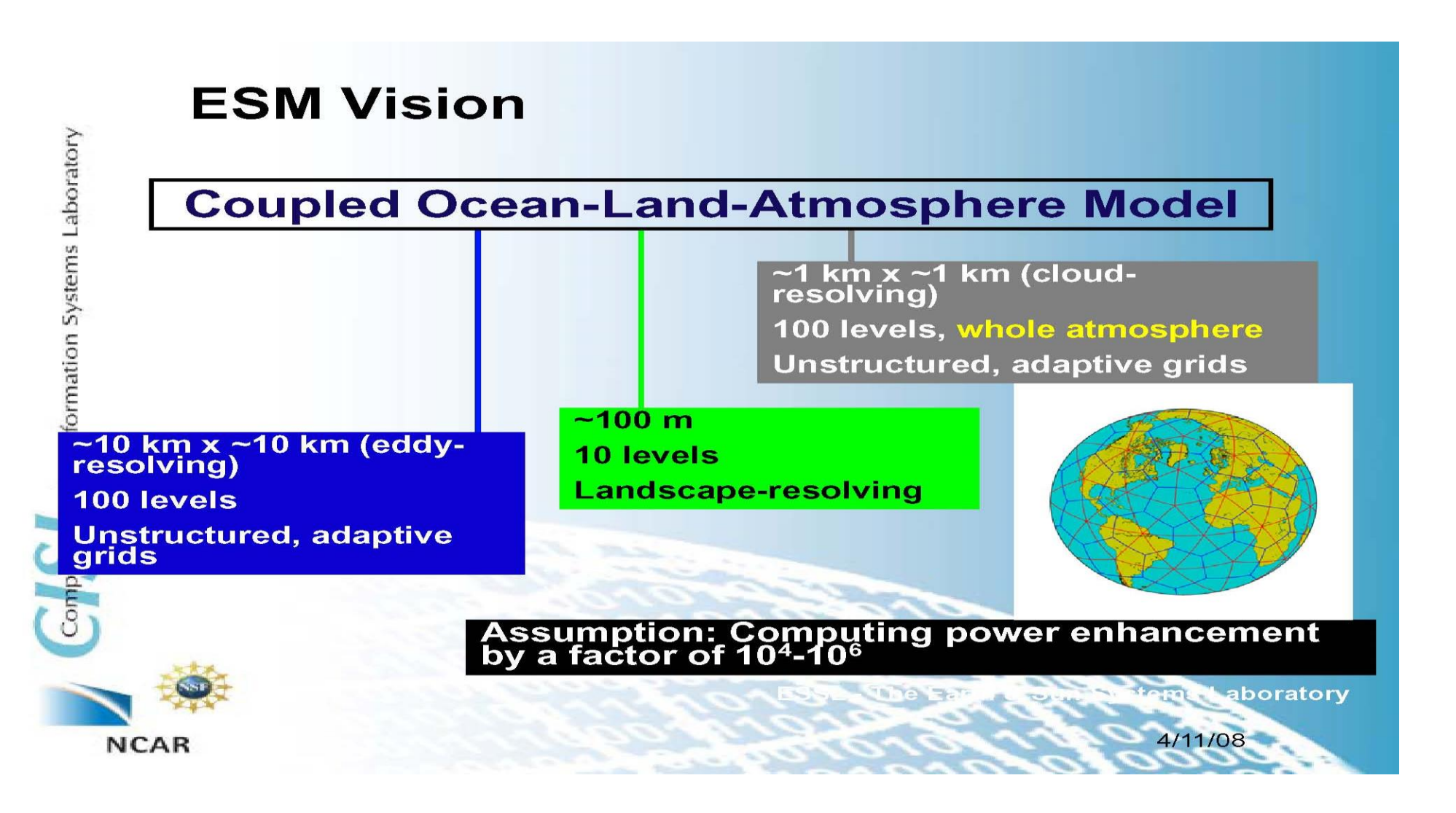
Вопрос: каково время T, за которое ошибки в коротковолновой части спектра (на больших волновых числах $2^N k_L$, N >> 1) повлияют на воспроизведение крупномасштабных процессов?

$$T(N) = \tau(2^{N} k_{L}) + \tau(2^{N-1} k_{L}) + \dots + \tau(2^{0} k_{L}) = \sum_{n=0}^{N} \tau(2^{n} k_{L})$$

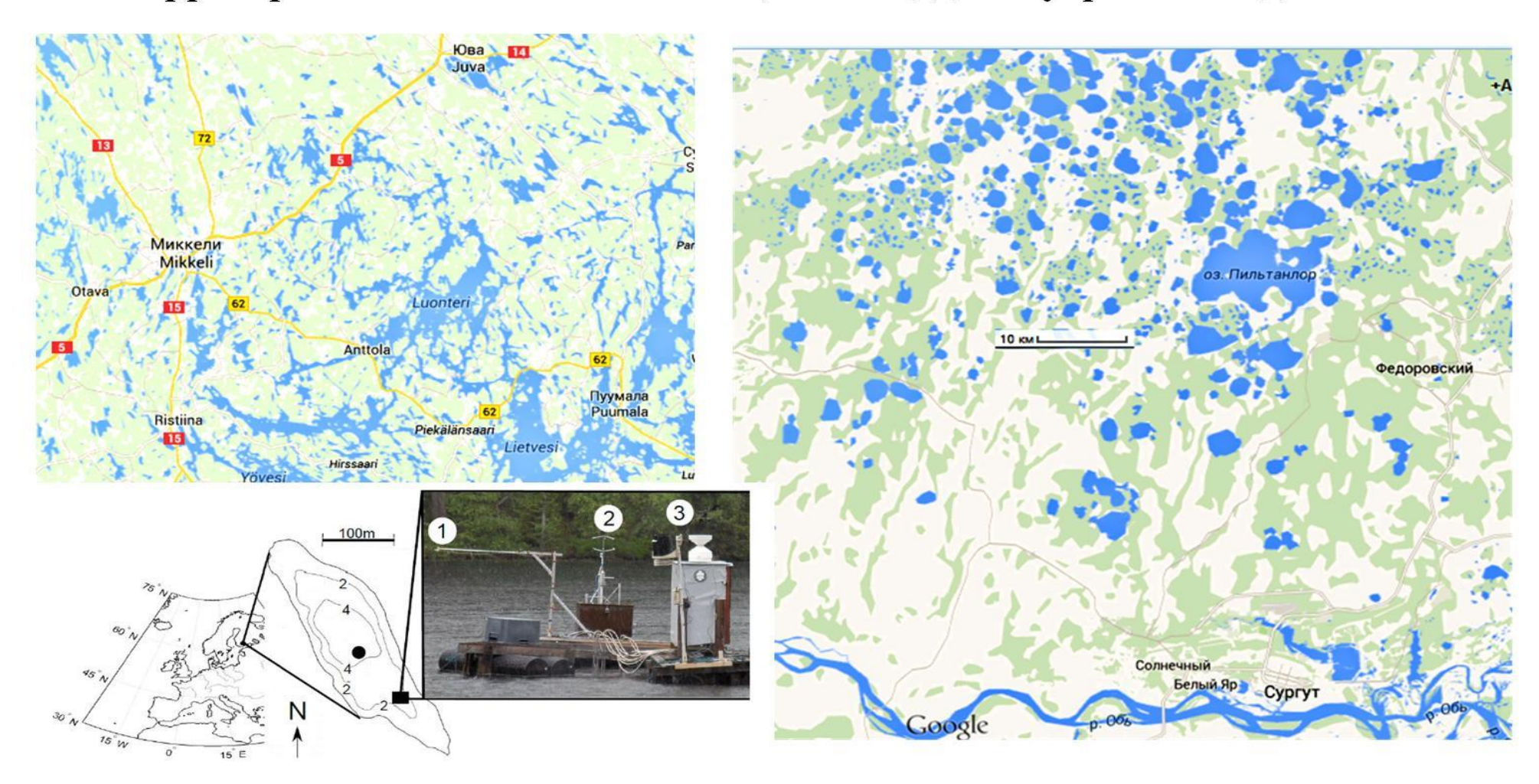
$$E(k) \square k^{-3} \rightarrow \tau(k) = \text{const} \rightarrow T(N) \square N$$

$$E(k) \square k^{-5/3} \rightarrow \tau(k) \square k^{-2/3} \rightarrow \lim_{N \to \infty} T(N) \square 2.7 \tau(k_{L})$$

Earth System Model R. Loft. The Challenges of ESM Modeling at the Petascale

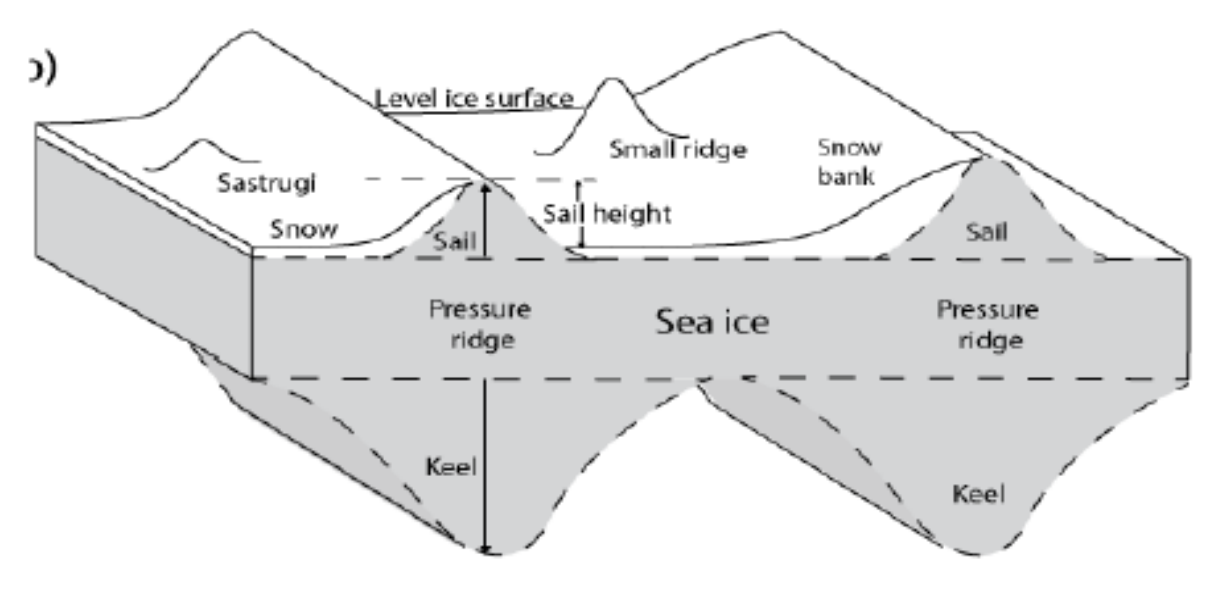


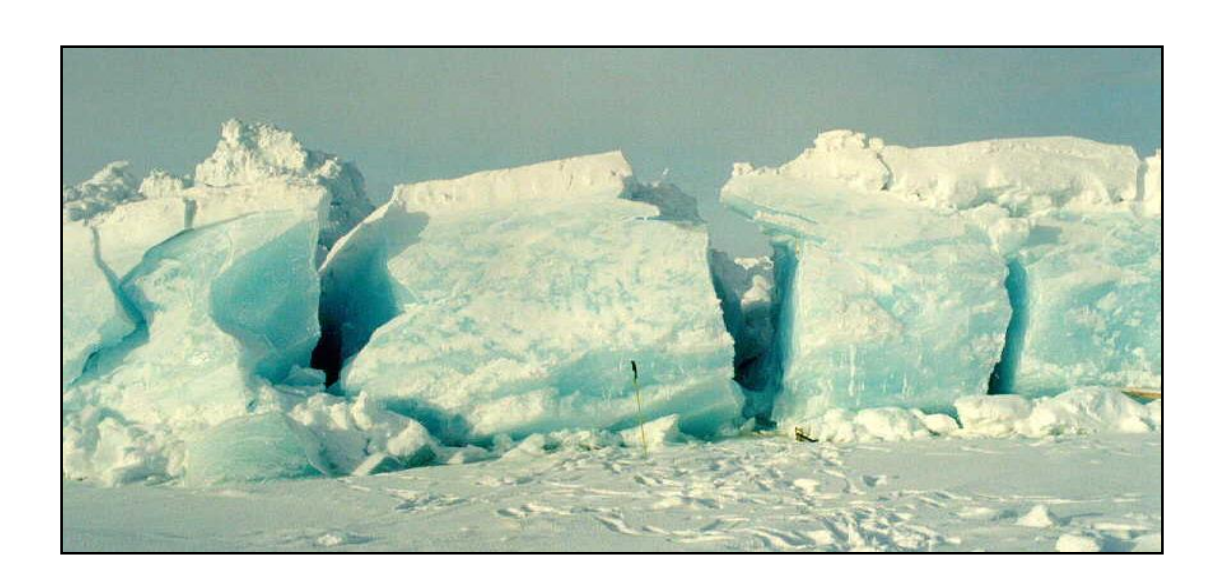
Общее количество озер с площадью менее 10 км² составляет 99,9 % от числа внутренних водоемов на поверхности Земли, а их суммарная территория составляет 54% от общей площади внутренних водоемов



Для современных моделей прогноза погоды и климата требуется вычисление балансов тепла, влаги и газовых примесей на поверхности с учетом наличия водных объектов подсеточного масштаба.

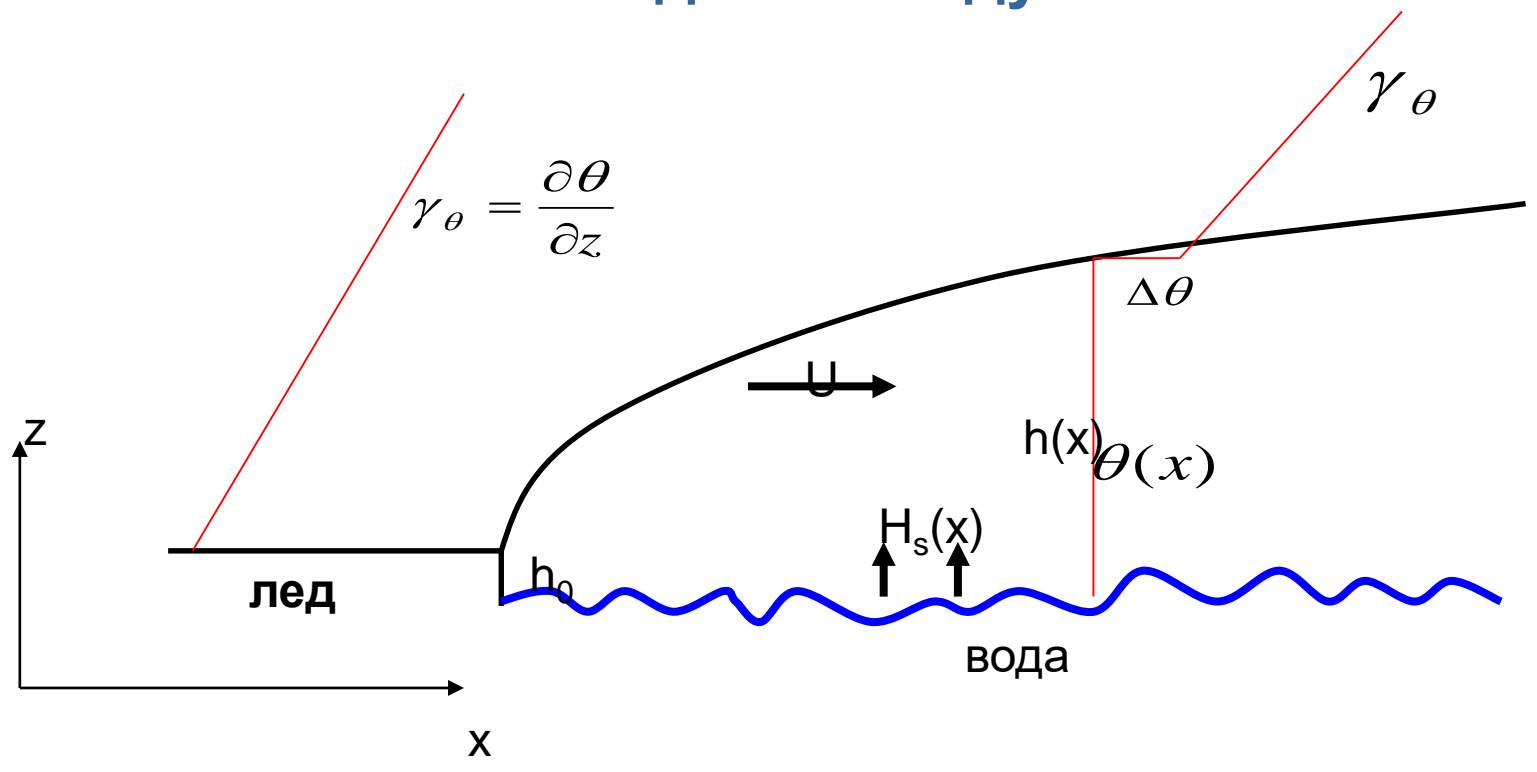
Торосы





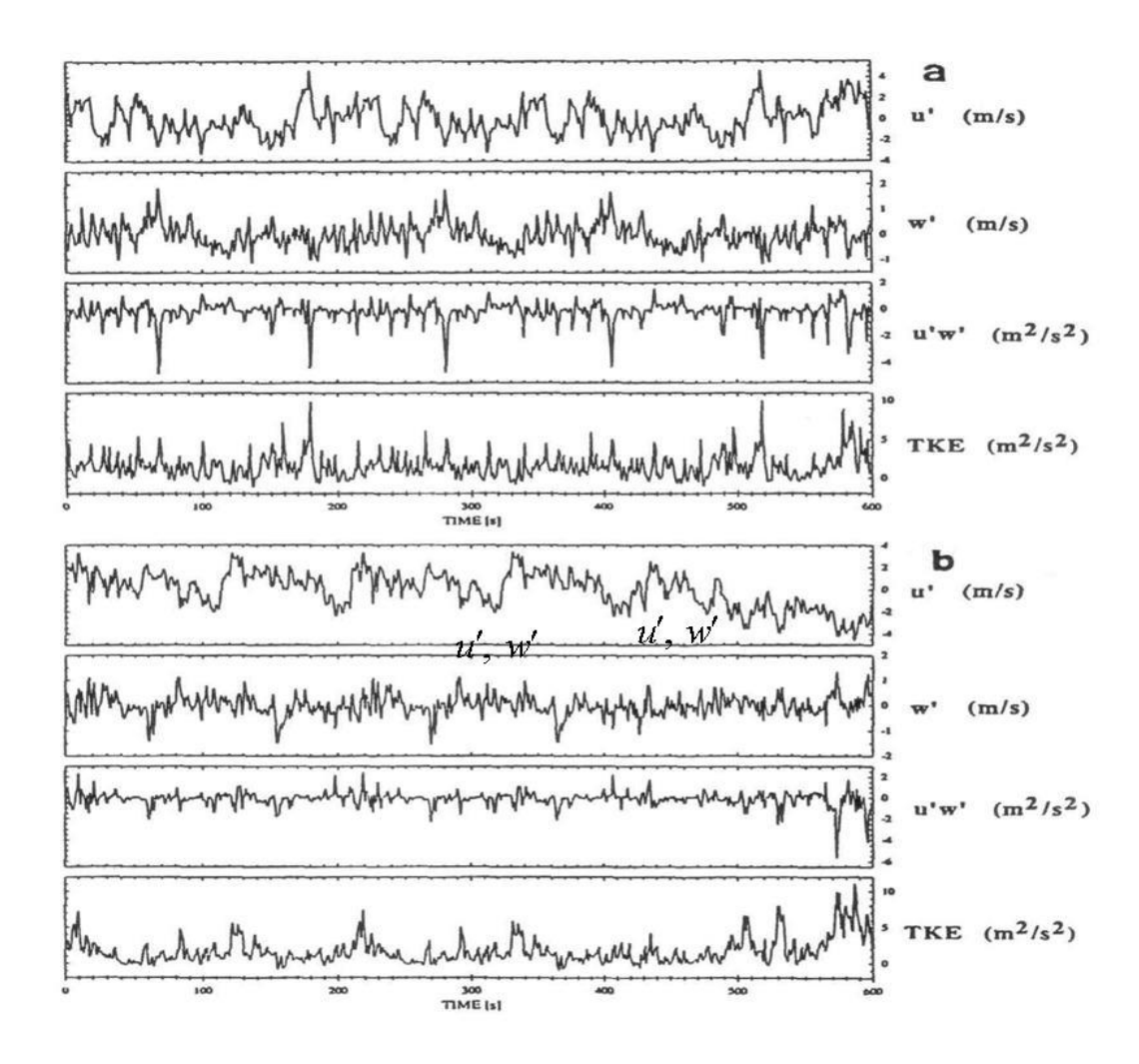


Формирование внутреннего конвективного пограничного слоя над полыньей при натекании холодного воздуха.



$$C_H = f(U, \Delta T, L, x)$$





Пример временных рядов пульсаций скорости u', w', вертикальной компоненты потока импульса u'w' и кинетической энергии турбулентности $TKE = (u'^2 + v'^2 + w'^2)/2$ в условиях снежной метели (а) и без нее (b).

Эффект Томса

Toms B.A. Some observation on the flow of linear polymer solutions through straight tubes at large Reynolds numbers. - Proc. 1st Intl. Congr. on Rheology, v. II, p. 135-141, North Holland, Amsterdam, 1948.

- □ При добавлении в воду полимерной присадки (раствор полиметилметакрилата в монохлорбензоле) трение между турбулентным потоком и трубопроводом значительно снижается.
- □ Эффект Томса обуславливается образованием на границе твердое теложидкость молекулярных растворов, которые ослабляют турбулентность потока. Установлено, что добавка полимеров более эффективно действует при высоких скоростях потока, когда его турбулентность проявляется сильнее.
- □ Практическое применение: "смазывают" различными присадками трубопроводы, "смазывают" полимерами морские и речные суда, напорные колонны глубоких скважин и т.д.
- □ Эффект Томса наблюдается и при движении твердых частиц в жидкости (в частности, за счет стратификации плотности взвеси).

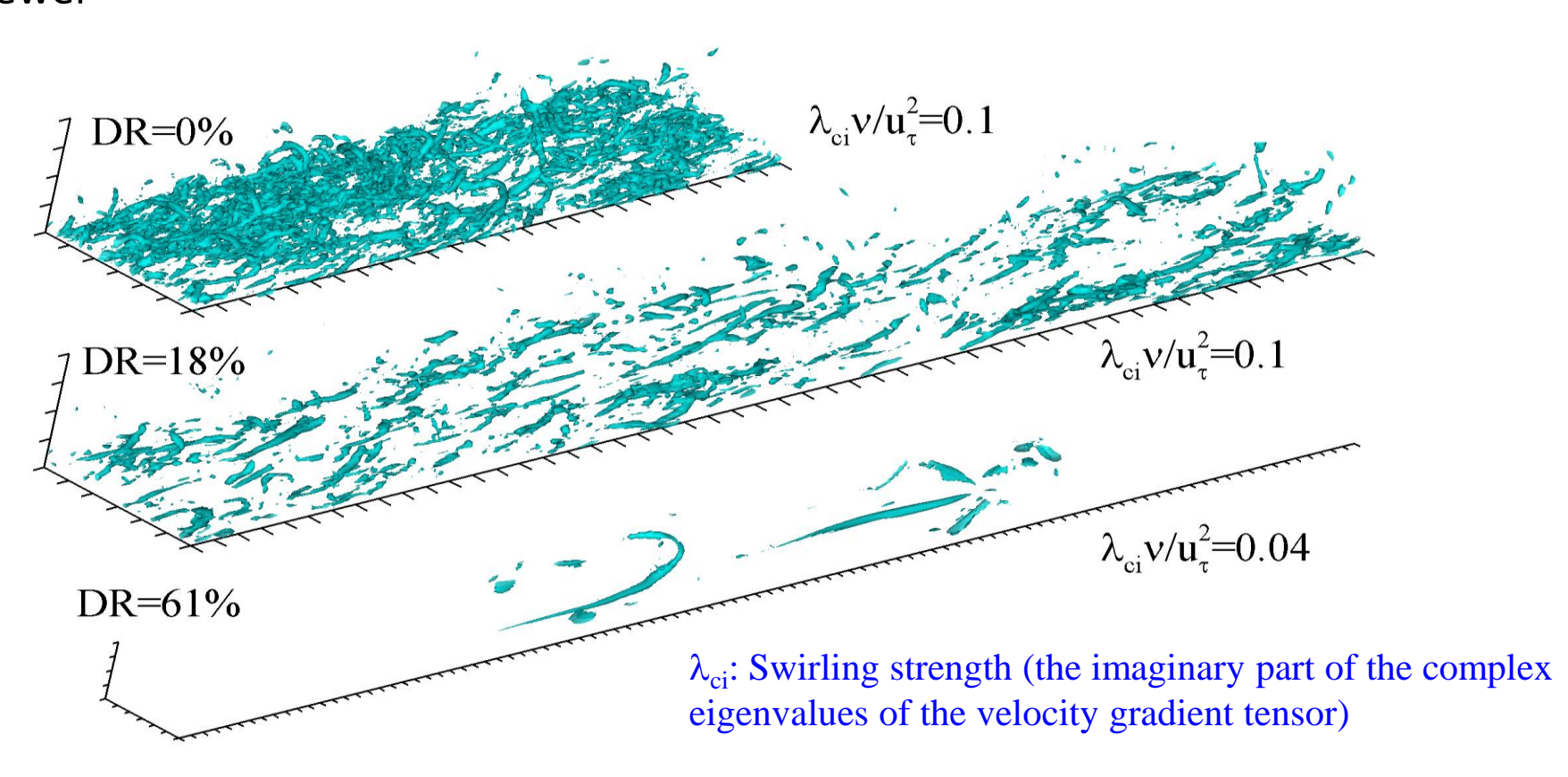
Polymeric stresses, wall vortices and drag reduction

Ronald J. Adrian

Arizona State University-Tempe Mechanical and Aerospace Engineering

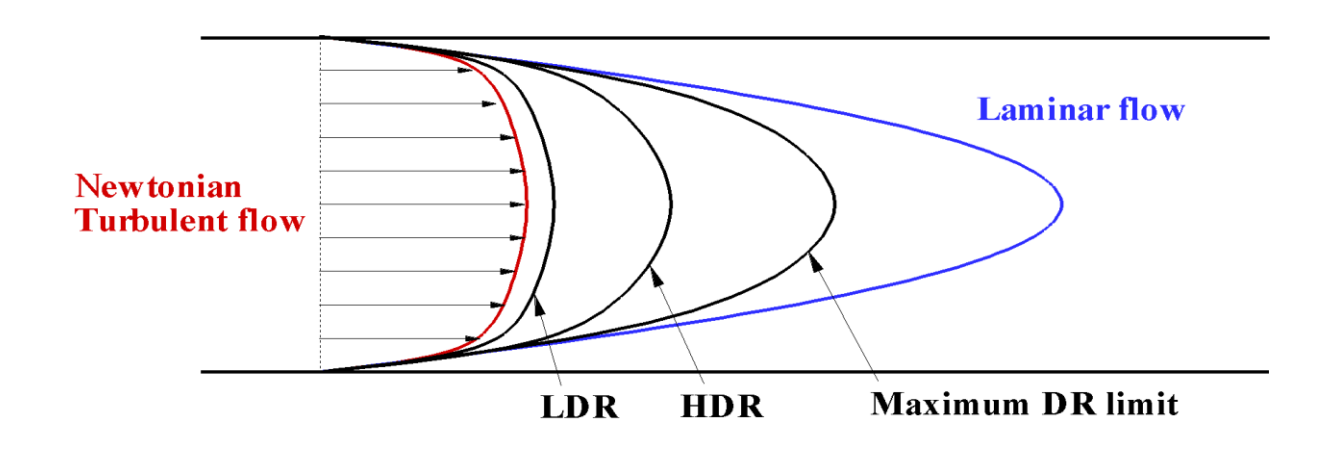
Near-Wall Vortical Structures

- □ Vortical structures in polymer solutions are:
- Weaker
- □ Thicker
- □ Longer
- □ Fewer



Structural changes found in experiments

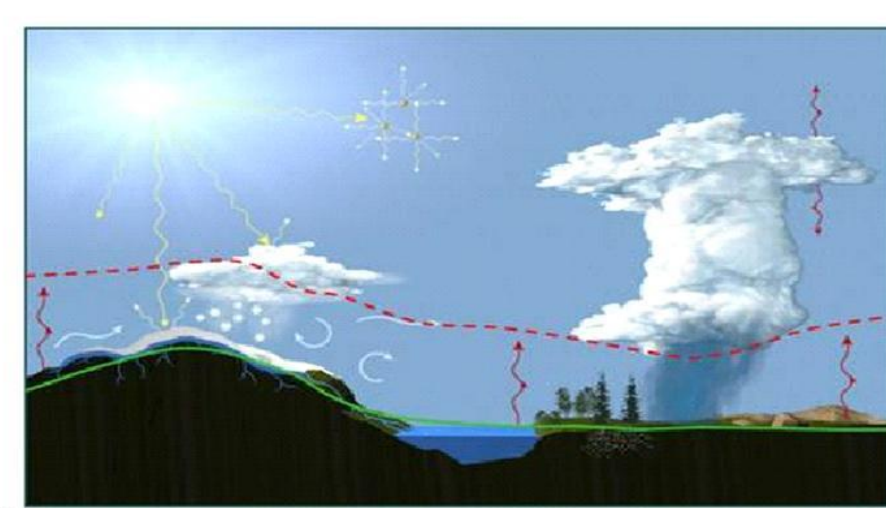
- Increased spacing and coarsening of streamwise streaks
- Damping of small spatial scales
- Reduced streamwise vorticity
- Enhanced streamwise velocity fluctuations
- Reduced vertical and spanwise velocity fluctuations and Reynolds stresses
- Parallel shift of mean velocity profile in low Drag Reduction
- Increase in the slope of log-law in high Drag Reduction





Особенности турбулентных процессов в геофизических пограничных слоях

Aтмосферный пограничный слой $H_{ABL}\sim 10^2$ - 10^3 м Bерхний пограничный слой океана $H_{UOL}\sim 10^1$ - 10^2 м $H_{DBL}\sim 10^0$ - 10^1 м

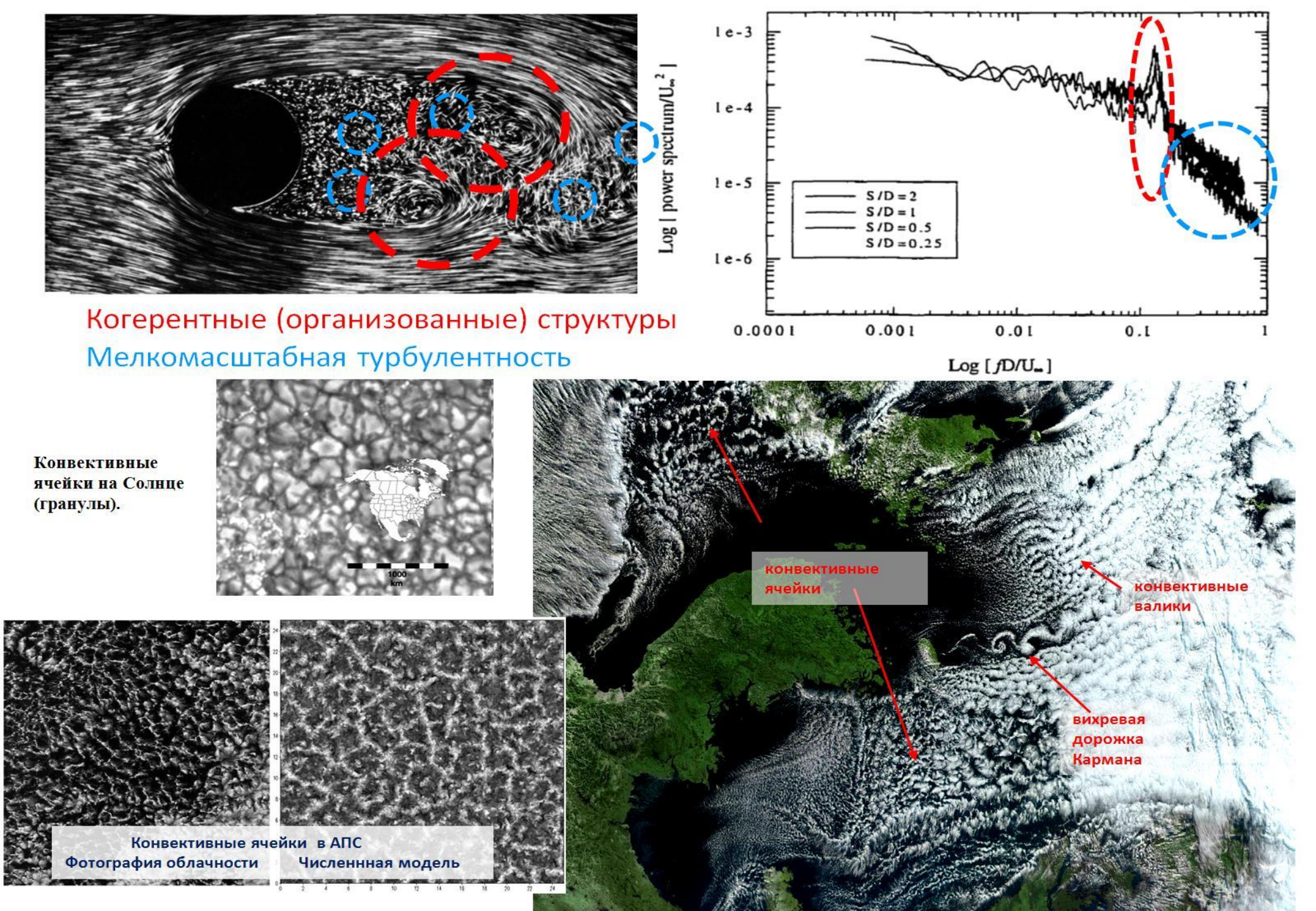


- Стратификация
- Солнечная радиация
- Наличие облачности и фазовые переходы в АПС
- Сильно шероховатая орографически и гидрологически неоднородная поверхность в АПС
- Генерация турбулентности за счет обрушения ветровых волн в ВПСО

•••

Очень большие числа Рейнольдса

Атмосферный пограничный слой - Re ~ 10⁹ Верхний слой океана - Re ~ 10⁶-10⁷ Придонный слой океана - Re ~ 10⁵-10⁶



Моделирование динамики пограничного слоя атмосферы

- (1) Воспроизведение пестрой картины атмосферных движений над реальной подстилающей поверхностью при сравнительно однородных процессах в свободной атмосфере;
- (2) изучение процессов взаимодействия деятельного слоя суши и верхнего слоя океана с атмосферой;
- (3) оценка возможностей направленных воздействий с целью уменьшения рисков, связанных с опасными явлениями, и достижения экономического эффекта (рассеяние туманов, борьба с заморозками и засухой, изменение турбулентного режима, в частности, снижение сопротивления и др.);
- (4) разработка схем параметризации для гидродинамических моделей прогноза погоды и климата.

- P. Viterbo et al. The representation of soil moisture freezing and its impact on the stable boundary layer. Q.J.R. Meteorol. Soc., 1999, v. 125, p. 2401-2426.
- □ В «одномерных» схемах параметризации приземного слоя атмосферы реализуется положительная обратная связь между температурой подстилающей поверхности и устойчивой стратификацией пограничного слоя атмосферы, наиболее сильно проявляющаяся при больших числах Ричардсона.
- □ Процесс промерзания почвы важный механизм регулирования сезонного хода температуры (зимой препятствует чрезмерному усилению устойчивости пограничного слоя).

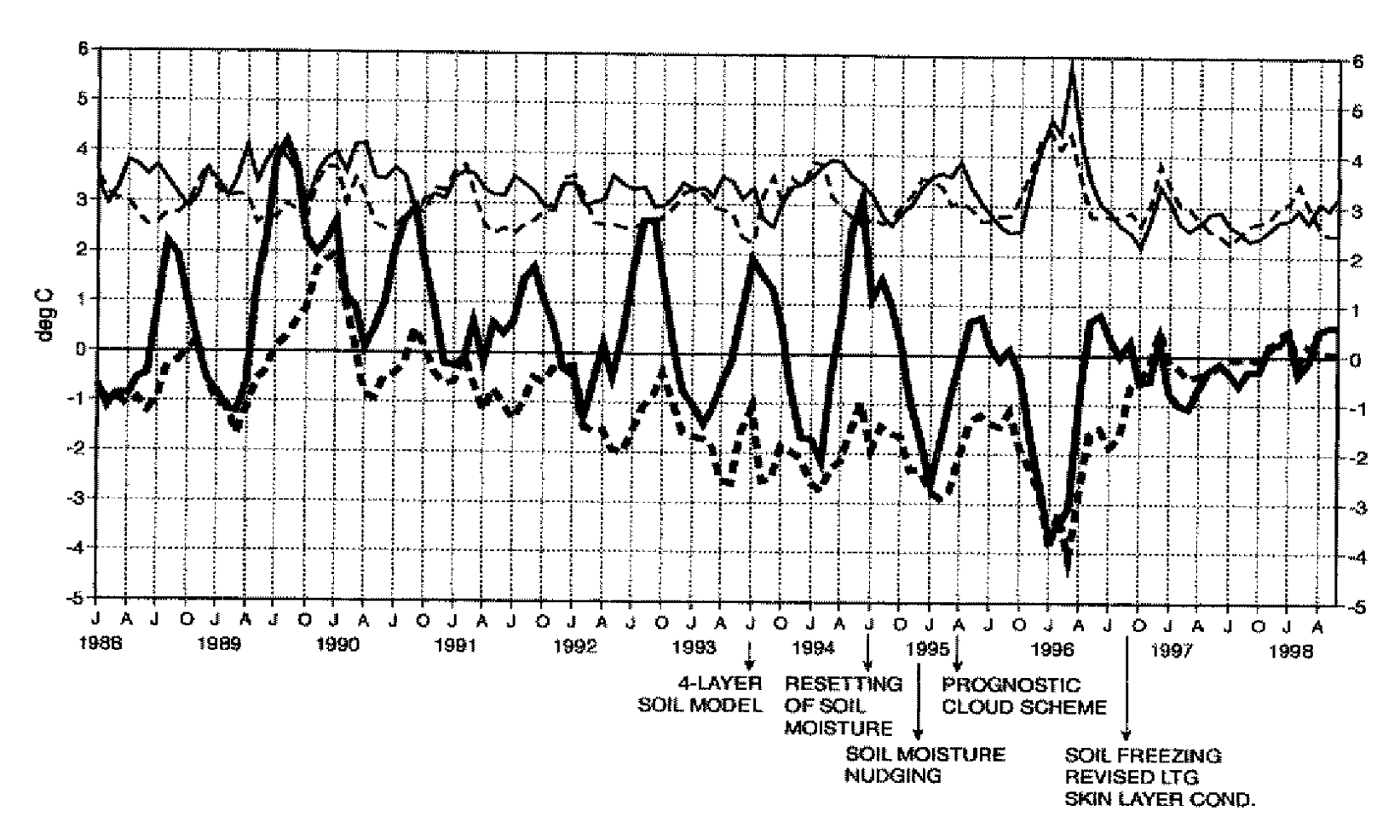


Figure 15. History of monthly biases (thick solid and dashed lines) and standard deviations (thin solid and dashed lines) with respect to observations of the daytime (72-hour: solid lines) and night-time (60-hour: dashed lines) operational 2 m temperature forecasts, averaged over all available SYNOP stations in the European area of 30°N to 72°N and 22°W to 42°E.

В Европейском центре среднесрочных прогнозов погоды (ЕЦСПП) последние 20 лет использовался подход, с помощью которого искусственно завышалась степень турбулентного перемешивания в пограничном слое атмосферы в условиях его устойчивой стратификации [Sandu et al., 2013], чтобы учесть вклад подсеточных процессов, обусловленных неоднородностью подстилающей поверхности, гравитационными волнами или мезомасштабной изменчивостью, не разрешаемых явно прогностической моделью. С помощью такого подхода удалось улучшить качество воспроизведения температуры подстилающей поверхности и синоптических образований.

Анализ результатов ряда 10-дневных прогностических экспериментов, проведенных в ЕЦСПП с моделью Т511L91 (горизонтального разрешения около 50 км и вертикального – 91 уровень) для зимнего (январь 2011 г.) и летнего (июль 2010 г.) сезонов, показал [Sandu et al., 2013], что отказ от искусственного завышения степени турбулентного обмена в устойчиво стратифицированном пограничном слое атмосферы приводит к улучшению качества воспроизведения низкоуровенных струйных течений и суточного хода температуры поверхности и влияет (в некоторых случаях — негативно) на характеристики крупномасштабных течений — интенсивность синоптических образований и амплитуду стационарных планетарных волн. Существенную роль здесь играют как выбор турбулентного замыкания, так и, например, параметризация орографического сопротивления или описание взаимодействия атмосферы и суши.

Sandu I., Beljaars A., Bechtold P., Mauritsen T., Balsamo G. Why is it so difficult to represent stably stratified conditions in numerical weather prediction (NWP) models? – J. Adv. Model. Earth Syst., 2013, v. 5, p. 117-133.

Representation of the Subgrid-Scale Turbulent Transport in Convective PBLs at Gray-Zone Resolutions

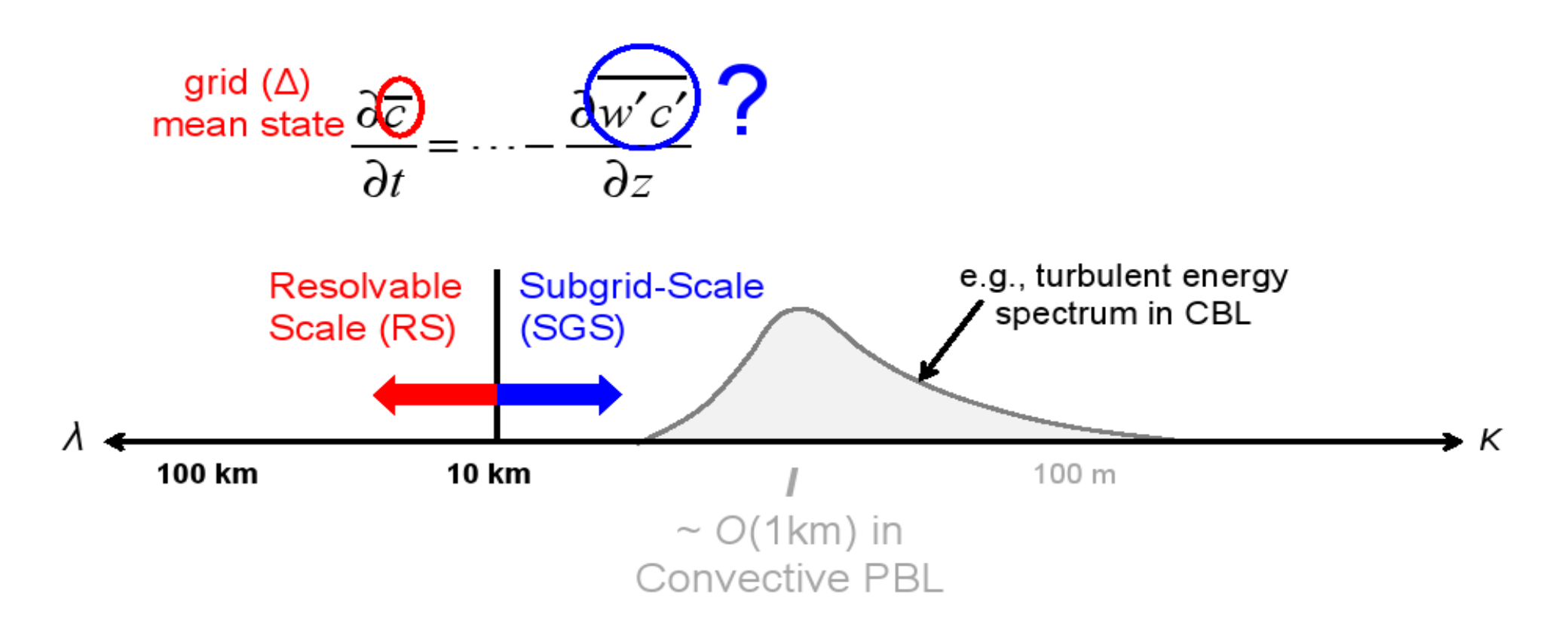
Hyeyum (Hailey) Shin¹ and Song-You Hong²

¹National Center for Atmospheric Research, Boulder, CO, USA ²Korea Institute of Atmospheric Prediction Systems, Seoul, South Korea

With acknowledgement to

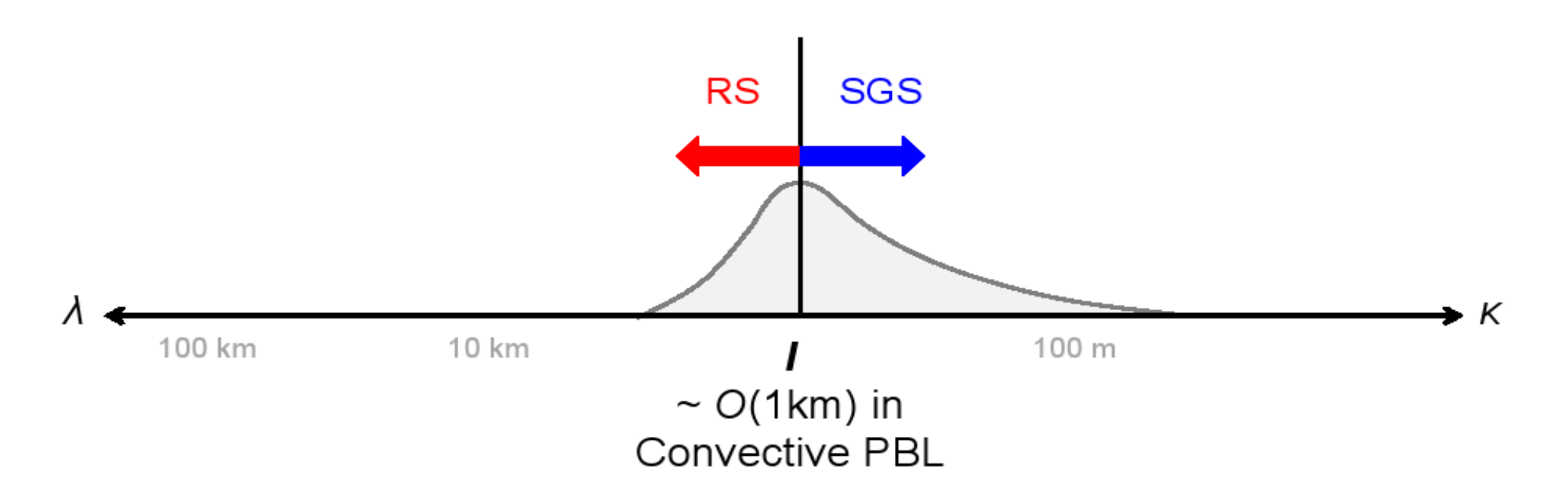
Jimy Dudhia, Peggy LeMone, Sang-Hun Park (MMM/NCAR), Sungsu Park (CGD/NCAR), Yign Noh (YonSei Univ.)

NWP models and GCMs: $\Delta \sim O(10-100 \text{ km})$



 $\Delta >> I$: Totally subgrid-scale (SGS) \rightarrow Entirely parameterized.

At higher resolutions: $\Delta \sim O(0.1-1 \text{ km})$

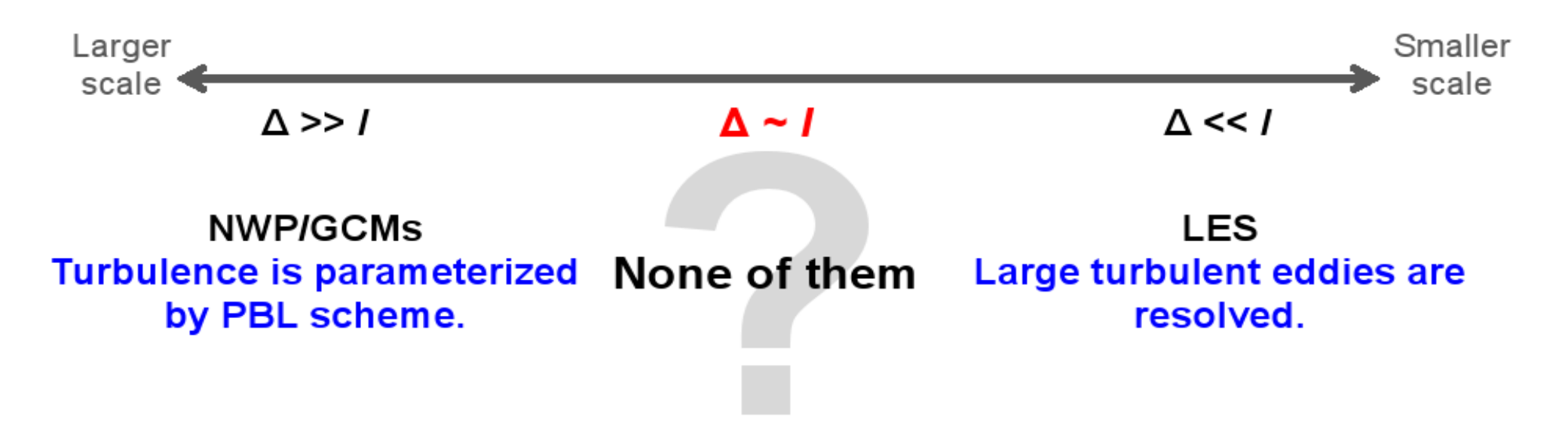


 $\Delta \sim I$: Partly resolved, and partly parameterized.

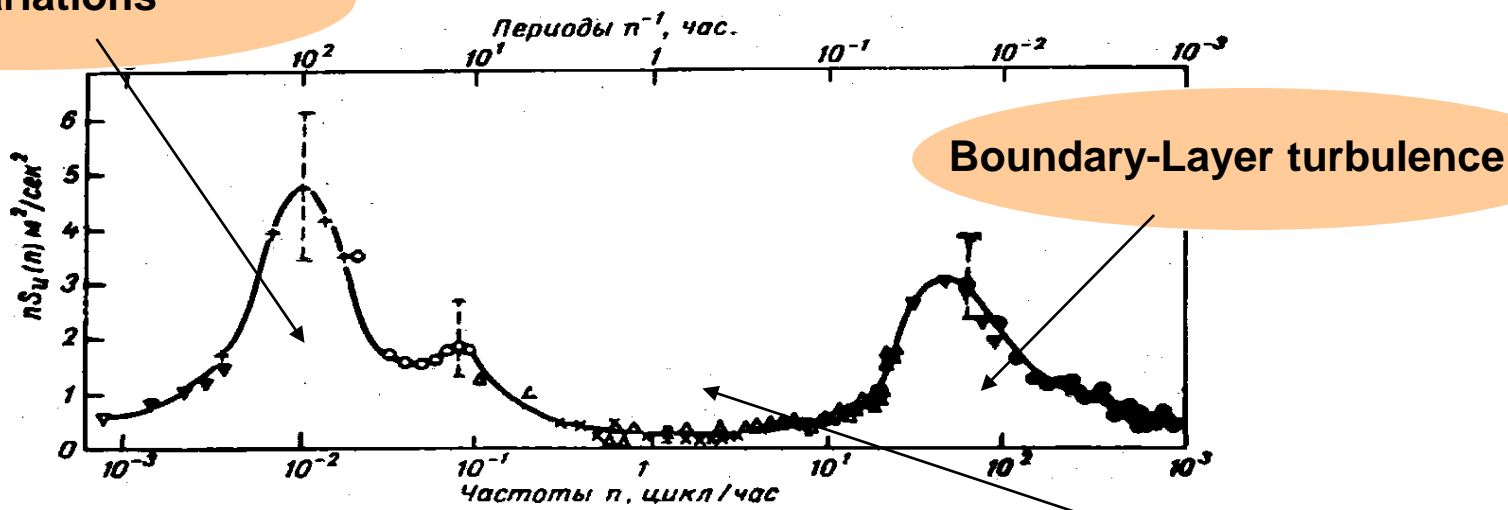
"GRAY ZONE"

FROM "The theoretical view"

Two traditional modeling methods of turbulent flows according to the ratio Δ//



Synoptic variations



Спектр скорости ветра в приземном слое атмосферы (по Ван дер Ховену (1957), n— частота, $S_u(n)$ — спектральная плотность.

Energy range

Inertial range $E(k) \cong \varepsilon^{2/3} k^{-5/3}$ $2\nu k^2 E(k)$ II k

Mesoscale processes

$$a(x_i, t) = \tilde{a}(x_i, t) + a'(x_i, t) + a''(x_i, t)$$

$$\overline{a}(x_i, t) = \int G(x_i - x_i') a(x_i', t) dx_i'$$

$$\overline{a}(x_i, t) = \tilde{a}(x_i, t) + a'(x_i, t)$$

Dissipation range

Три подхода к численному моделированию турбулентности

- 1. Прямое численное моделирование (в англоязычной литературе direct numerical simulation, DNS).

 Численно решаются системы алгебраических уравнений, с высокой точностью аппроксимирующие исходную высокой точностью аппроксимирующие исходную высокой точностью аппроксимирующие исходную высокой точностью и простроизменты и предправать высокой предправать на предправ
 - систему дифференциальных уравнений Навье-Стокса. Этот метод требует детального пространственновременного разрешения и, следовательно, ведет к большим вычислительным затратам. Поэтому DNS редко применяется в практических задачах и чаще всего служит инструментом для получения больших массивов данных о турбулентных потоках простой структуры.
- 2. Вихреразрешающее моделирование (Large Eddy Simulation, LES).
 - Основой вихреразрешающего моделирования турбулентных потоков с очень большими числами Рейнольдса (Re >> 1) является подтверждаемая экспериментально гипотеза о независимости статистических характеристик крупномасштабных турбулентных движений от молекулярной вязкости. Согласно этому предположению, возможно построение численной модели, явно описывающей нестационарную динамику только относительно крупных вихрей (вихрей, вносящих основной вклад в энергию турбулентного потока и определяющих взаимодействие турбулентности со средним движением). Влияние мелкомасштабной турбулентности учитывается при помощи турбулентных замыканий.
- 3. Решение систем уравнений, осредненных по Рейнольдсу (Reynolds averaged Numerical Simulation, RANS). В данном случае модель воспроизводит только средние значения скорости (и, при необходимости, скалярных величин, например температуры, влажности воздуха, концентрации примеси), а влияние всех флуктуаций учитывается при помощи турбулентных замыканий. Под осреднением в RANS понимается осреднение по ансамблю состояний. В силу предполагаемой эргодичности и в случае наличия статистически однородных направлений модели RANS могут быть не только трехмерными, но и двумерными и одномерными. Последние, как правило, используются в качестве блоков, параметризующих турбулентность в геофизических пограничных слоях в глобальных, региональных и мезомасштабных моделях атмосферы и океана.

$$\frac{\partial u_i}{\partial t} = -\frac{\partial u_i u_j}{\partial x_j} - \frac{\partial p}{\partial x_i} + \frac{1}{Re} \frac{\partial^2 u_i}{\partial x_i \partial x_j} + F_i^e,$$
 для вязкой несжимаемой жидкости
$$\frac{\partial u_i}{\partial x_i} = 0,$$
 (Direct Numerical Simulation, DNS)

Система уравнений Навье-Стокса

$$F(a(x,t))\equiv \overline{a}(x,t)=\int_{R^3}G(x-x',\Delta_f)a(x',t)dx'$$
 Фильтрация по пространству $\overline{\frac{\partial a(x,t)}{\partial x_i}}=rac{\partial \overline{a}(x,t)}{\partial x_i}; \quad \overline{\frac{\partial a(x,t)}{\partial t}}=rac{\partial \overline{a}(x,t)}{\partial t}$ Сводит исходную систему к системе с меньшим количеством степеней свободы

Вихреразрешающее моделирование
 (Large Eddy Simulation, LES)

 Для очень больших чисел Re

$$\frac{\partial \overline{u}_i}{\partial t} = -\frac{\partial \overline{u}_i \overline{u}_j}{\partial x_j} - \frac{\partial \tau_{ij}}{\partial x_j} - \frac{\partial \overline{p}}{\partial x_i} + \frac{1}{Re} \frac{\partial^2 \overline{u}_i}{\partial x_i \partial x_j} + \overline{F_i^e},$$
 1. Влиянием молекулярной вязкости на крупные вихри можно пренебречь

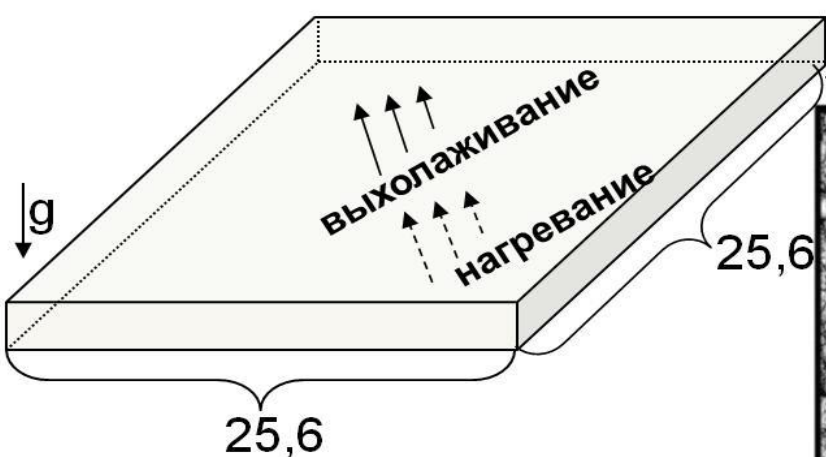
$$\dfrac{\partial \overline{u}_i}{\partial x_i} = 0,$$
 турбулентное замыкание
$$\tau_{ij} = \overline{u_i u_j} - \overline{u_i} \ \overline{u_j}.$$
 $\tau_{ij} \approx \mathrm{T}_{ij} \left(\overline{u_k}, \overline{u_l}, \overline{u_m}\right)$ Центральная проблема LES Аналогичная задача для скаляров

Аналогичная задача для скаляров $\frac{\partial \overline{s}}{\partial t} = -\overline{u}_i \frac{\partial \overline{s}}{\partial x_i} - \frac{\partial \sigma_i^s}{\partial x_i} + \overline{Q}^s \qquad \sigma_i^s = \overline{su_i} - \overline{u}_i \, \overline{s}$ (температура, влажность воздуха, концентрации газовых примесей) Glazunov A.V., Dymnikov V.P., Lykossov V.N. Mathematical modelling of spatial spectra of atmospheric turbulence. – Russian Journal of Numerical Analysis and Mathematical Modelling, 2010, v. 25, no. 5, p. 431–451.

С помощью вихреразрешающей (LES) модели исследована (с точки зрения воспроизведения спектральных свойств) термическая конвекция Рэлея-Бенара в двояко-периодическом канале с твердыми стенками как аналог многомасштабной атмосферной турбулентности.

Большое отношение его горизонтального размера к вертикальному (26:26:1) обеспечило существование квазидвумерных крупномасштабных компонент течения, а размер равномерной расчетной сетки в несколько десятков миллионов узлов позволил явно воспроизвести динамику мелкомасштабной трехмерной турбулентной составляющей.

Декомпозиция изучаемого турбулентного течения на баротропную (осредненную по вертикали) и бароклинную компоненты позволила предложить схему преобразований кинетической энергии в изучаемой системе, объясняющую некоторые спектральные свойства наблюдающейся атмосферной турбулентности.



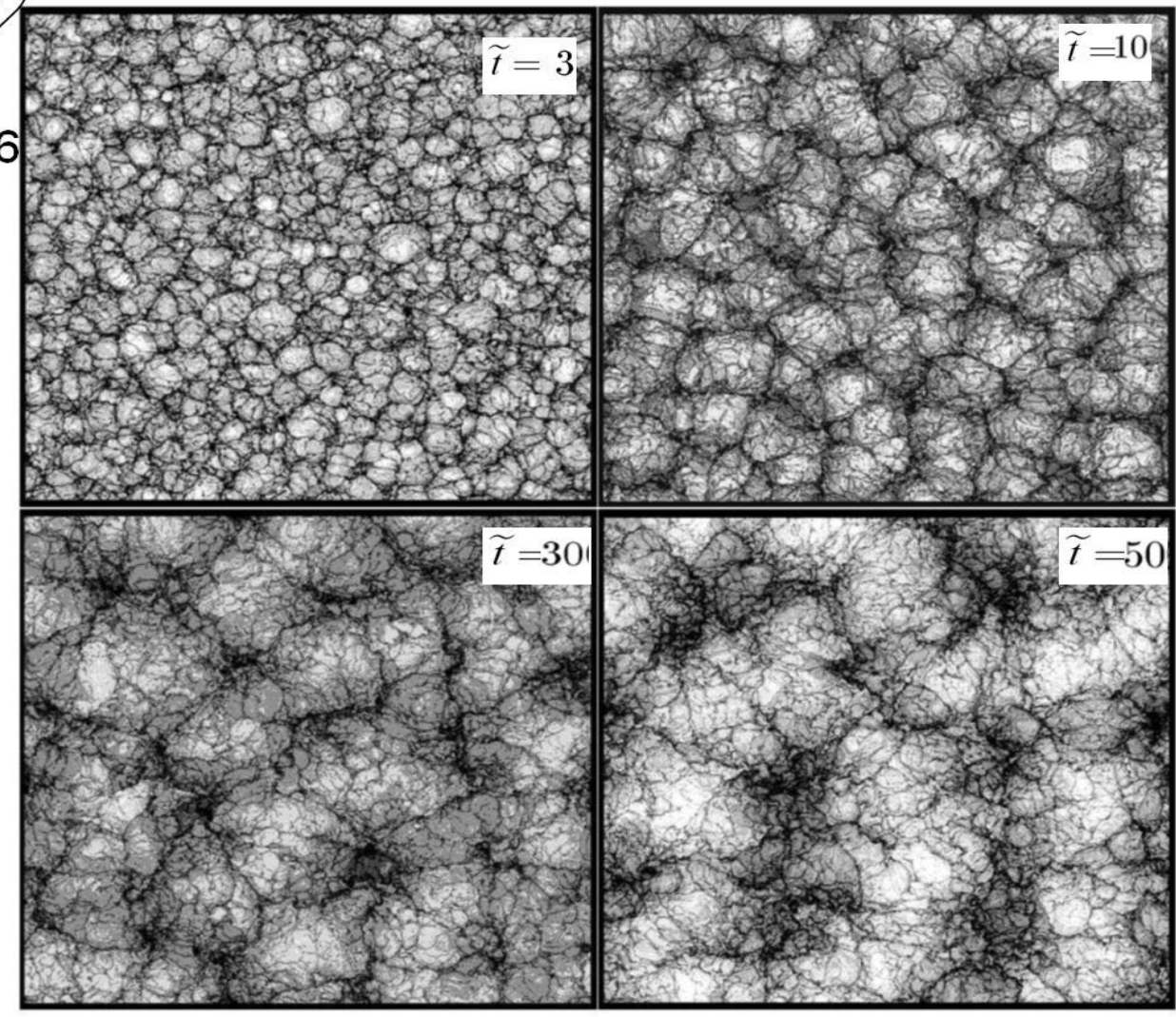
Равномерная сетка 1024x1024x40

Большое отношение горизонтального размера расчетной области к вертикальному обеспечивает (L_1/L_3) существование квазидвумерных мод.

Шаг сетки достаточен для воспроизведения инерционного интервала трехмерной турбулентности.

$$t_* = L_3/w_* = (L_3^2/\alpha H)^{1/3}$$

Турбулентная конвекция Рэлея-Бенара



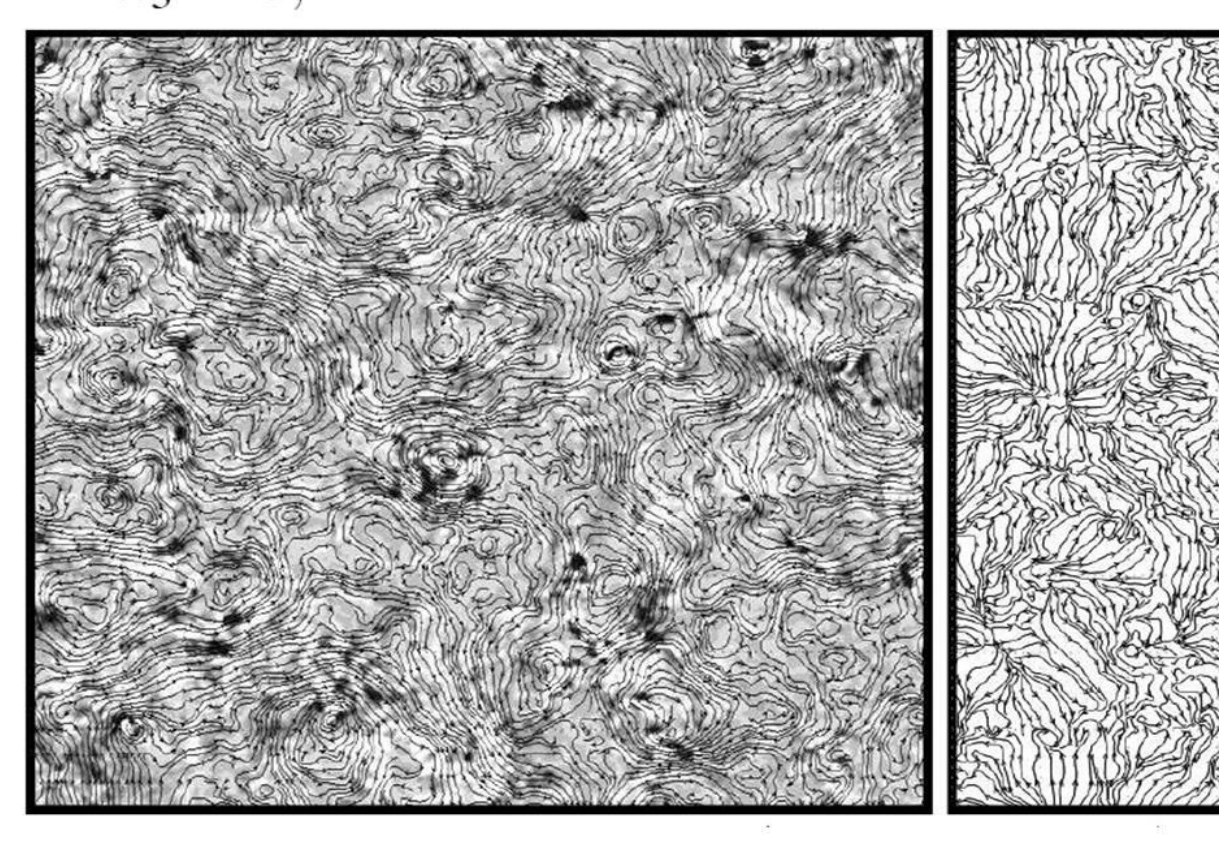
Потенциальная температура на z = L_№/8

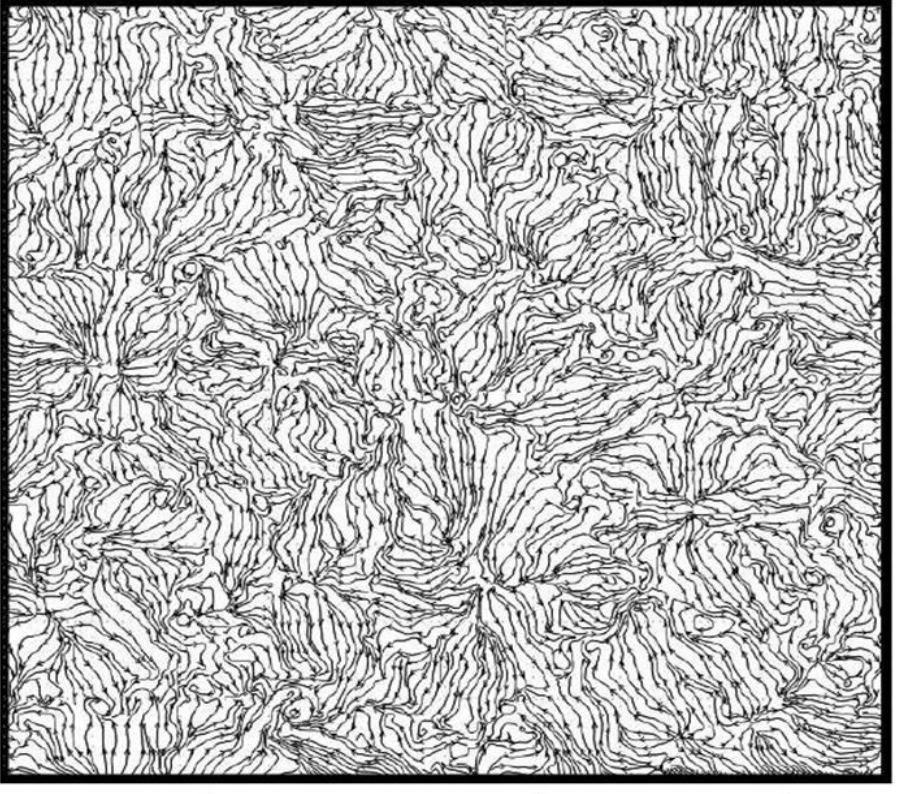
Для конвективного АПС с H \sim 100 Вт/м 2 L $_3\sim$ 1 км: аномалии с горизонтальным масштабом \sim 10 км, характерным временем \sim 15 час.

Баротропная и бароклинная компоненты течения

Баротропная и бароклинная компоненты течения
$$\widetilde{u}_i = F^{bt} u_i = \frac{1}{L_3} \int_0^{L_3} u_i dx_3, \quad (i=1,2), \qquad \qquad u_i^{bc} = u_i - \widetilde{u}_i$$

$$\widetilde{u}_3 = 0,$$





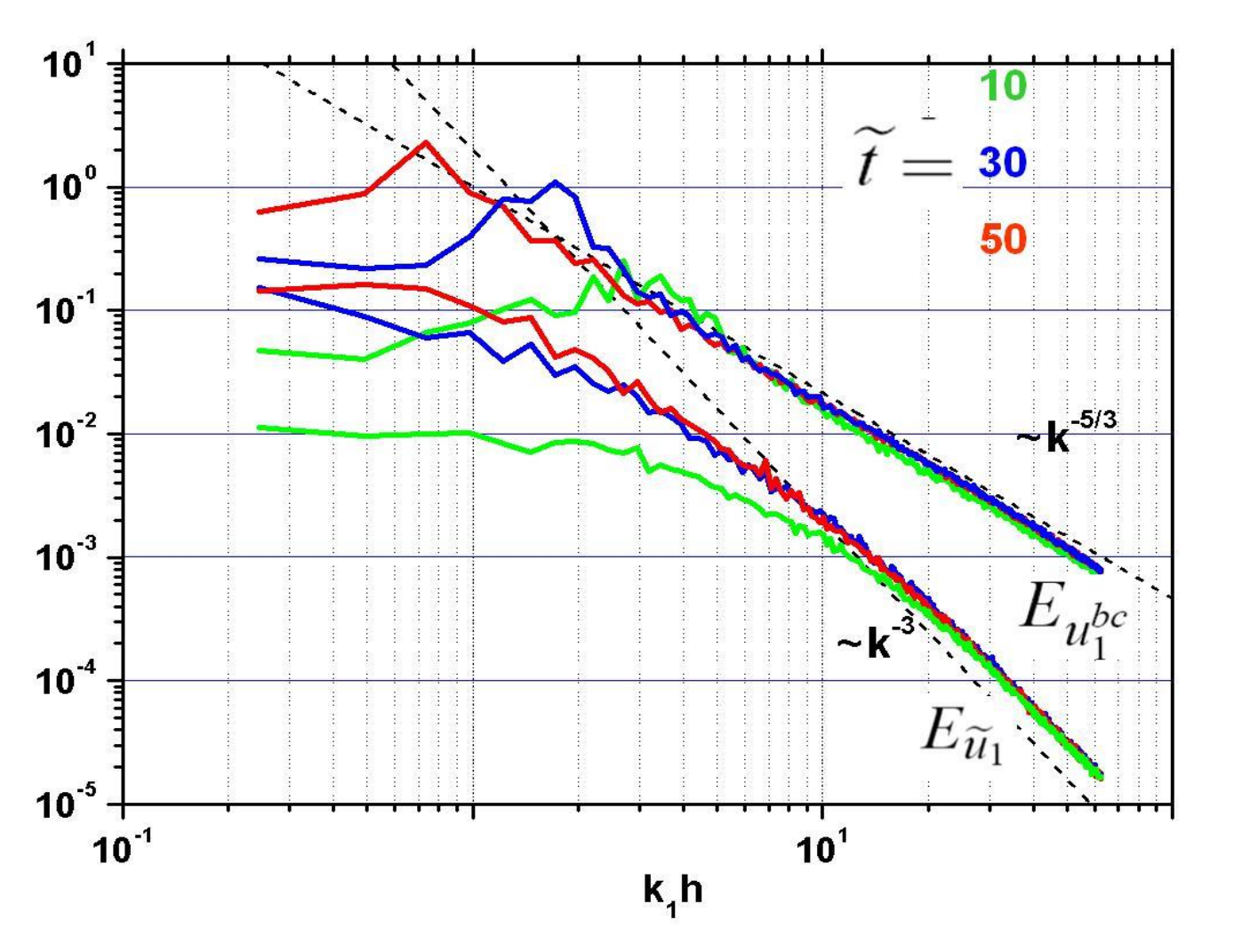
$$\begin{split} \frac{\partial \widetilde{u}_i}{\partial t} &= -\frac{\partial \widetilde{u}_i \widetilde{u}_j}{\partial x_j} - \frac{\partial R_{ij}^{bc}}{\partial x_j} - \frac{\partial \widetilde{p}}{\partial x_i} - \frac{\partial \widetilde{p}}{\partial x_j} - \frac{\widetilde{\partial \tau_{ij}}}{\partial x_j} - \frac{\tau_{i3}(x_1, x_2, L_3) - \tau_{i3}(x_1, x_2, 0)}{L_3}, \\ \frac{\partial \widetilde{u}_i}{\partial x_i} &= 0, \quad (i, j = 1, 2). \end{split}$$

$$R_{ij}^{bc} = \widetilde{u_i^{bc} u_j^{bc}}$$

Генерация энергии для баротропной компоненты

$$P^{bt} = R^{bc}_{ij}\widetilde{S}_{ij}$$

Одномерные однокомпонентные (u₁ вдоль x₁) спектры баротропной и бароклинной компонент скорости



$$E_{u_1}(k_1) = \int_{-k_2^{max}}^{k_2^{max}} E_{u_1}(k_1, k_2) dk_2, \quad k_2^{max} = \frac{\pi L_2}{\Delta x_2} \qquad E_{u_1}(k_1, k_2) = \widehat{u_1}(\mathbf{k}) \widehat{u_1}^*(\mathbf{k})$$

Simple model of katabatic flow with suspended snow particles (Idea: Kodama et al., 1985)

$$\frac{du}{dt} = (\lambda \theta - gC) \sin \alpha + f(v - v_g) + \frac{\partial}{\partial z} v \frac{\partial u}{\partial z},$$

$$\frac{dv}{dt} = (\lambda \theta - gC) \sin \beta - f(u - u_g) + \frac{\partial}{\partial z} v \frac{\partial v}{\partial z},$$

$$\frac{d\theta}{dt} + S \left[(u - u_g) \sin \alpha + (v - v_g) \sin \beta \right] = \Pr \frac{\partial}{\partial z} v \frac{\partial \theta}{\partial z},$$

$$\frac{dC}{dt} - w_s \frac{\partial C}{\partial z} = \operatorname{Sc} \frac{\partial}{\partial z} v \frac{\partial C}{\partial z},$$

$$v = v(\operatorname{Ri}_C), \quad w_s > 0.$$

Стационарная аналитическая модель склонового течения с взвешенными частицами снега

$$(\lambda \theta - gC) \sin \alpha + v \frac{d^2 u}{dz^2} = 0,$$

$$-Su \sin \alpha + \Pr^{-1} v \frac{d^2 \theta}{dz^2} = 0,$$

$$w_s \frac{\partial C}{\partial z} + \operatorname{Sm}^{-1} v \frac{d^2 C}{dz^2} = 0,$$

$$u \to 0, \ \theta \to 0, \ C \to 0 \quad \text{при } z \to \infty,$$

$$u = 0, \ \theta = \theta_0, \ C = C_0 \quad \text{при } z = 0.$$

Стационарная аналитическая модель склонового течения с взвешенными частицами снега

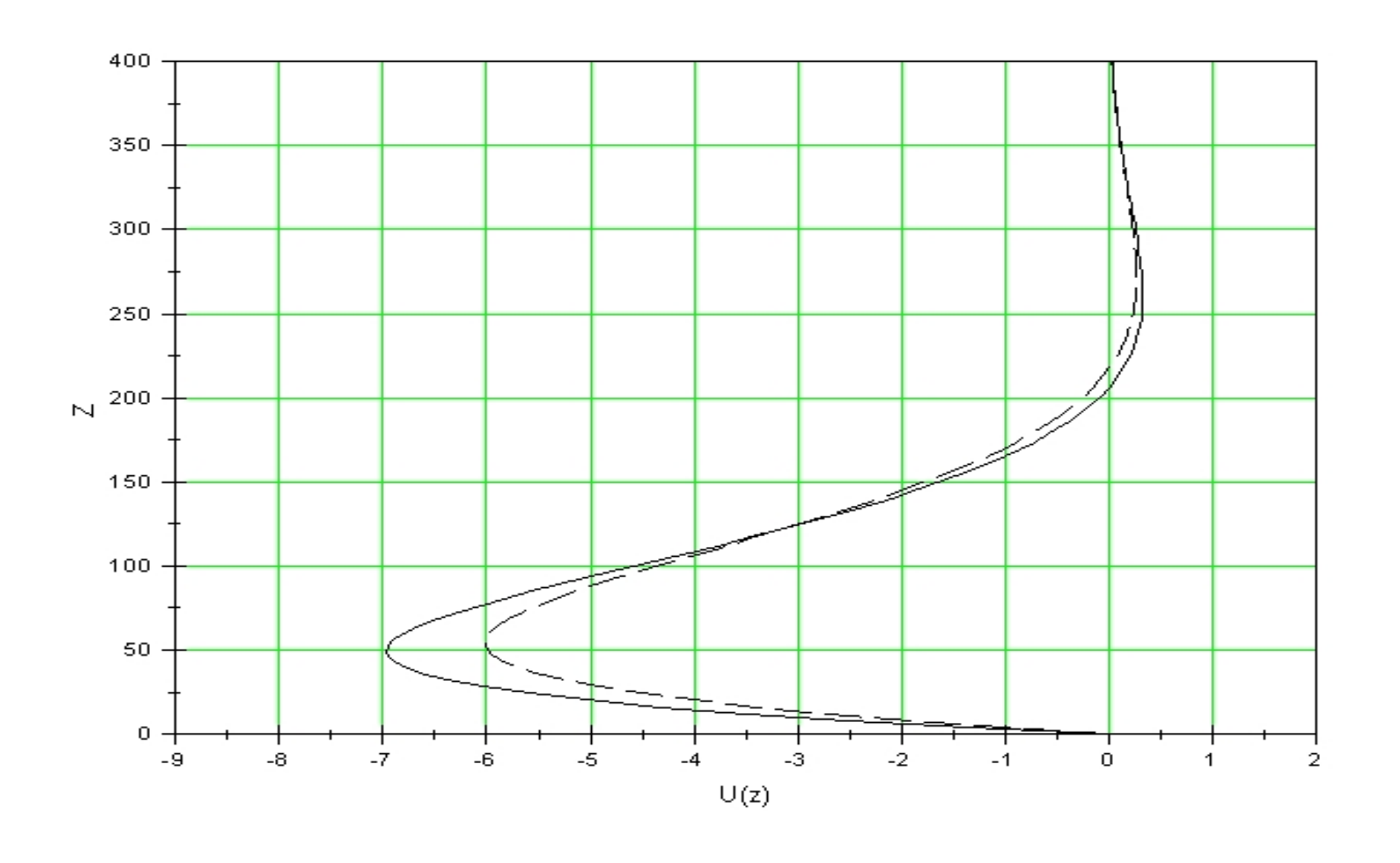
$$C(z) = C_0 e^{-z/d_C},$$

$$u(z) = c_u e^{-z/d_C} + \left[-c_u \cos(z/d) + (\theta_0 - c_\theta) \sqrt{\frac{\lambda}{S \operatorname{Pr}}} \sin(z/d) \right] e^{-z/d},$$

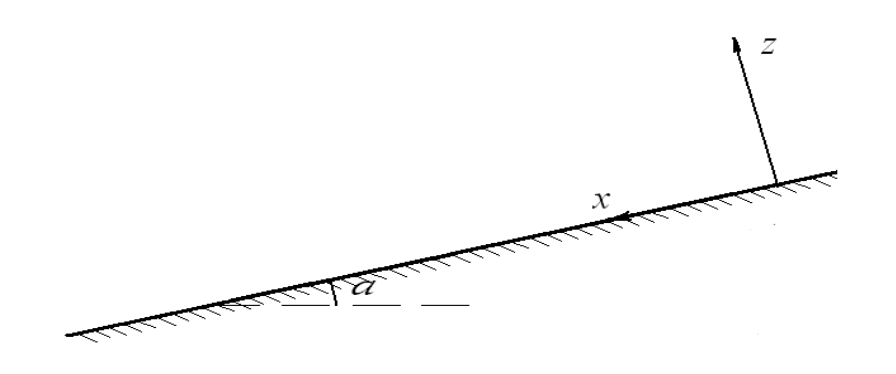
$$\theta = c_{\theta} e^{-z/d_{C}} + \left[(\theta_{0} - c_{\theta}) \cos(z/d) + c_{u} \sqrt{\frac{S \operatorname{Pr}}{\lambda}} \sin(z/d) \right] e^{-z/d},$$

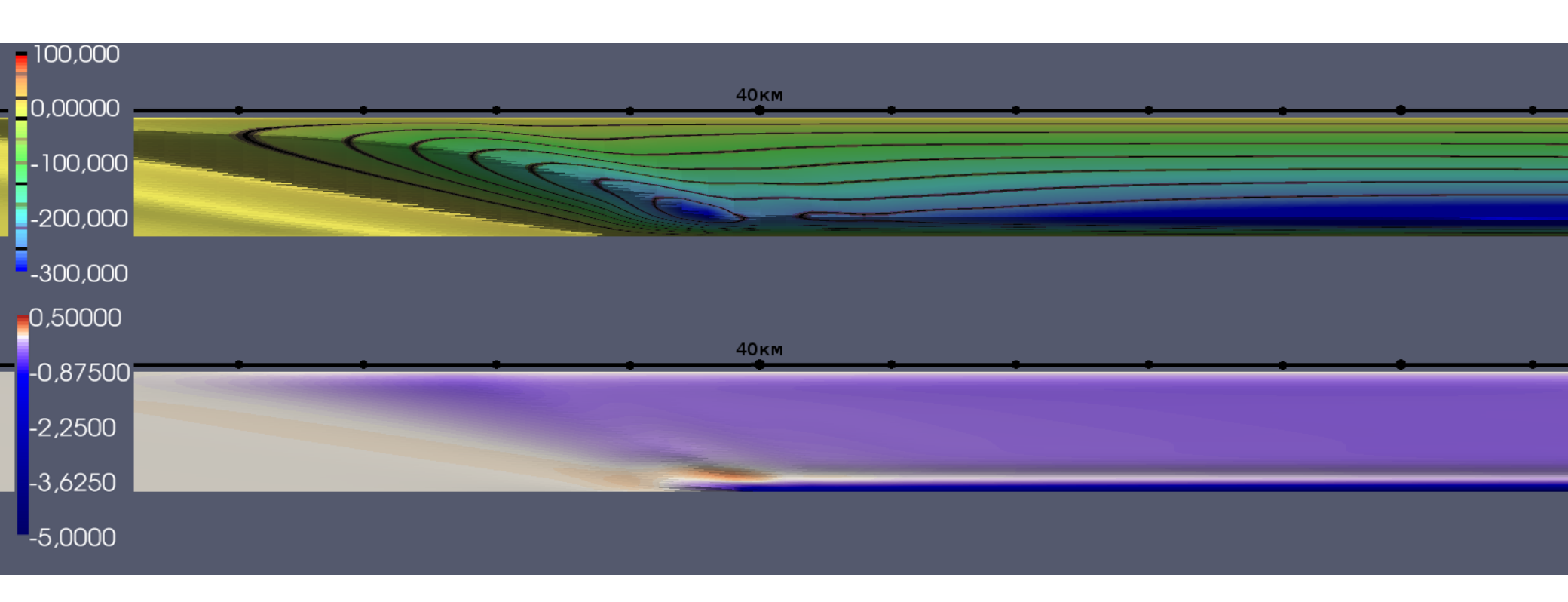
$$d = \sqrt[4]{\frac{4 \operatorname{Pr}^{-1} v^{2}}{\lambda S \sin^{2} \alpha}}, \ d_{C} = \frac{\operatorname{Sm}^{-1} v}{w_{s}}, \ c_{u} = \frac{g C_{0} d_{C}^{2} \sin \alpha}{(1 + 4 d_{c}^{4} / d^{4}) v}, \ c_{\theta} = \frac{g C_{0} d_{C}^{4} S \sin^{2} \alpha}{(1 + 4 d_{c}^{4} / d^{4}) v^{2}}.$$

Сравнение решений задачи Прандтля для скорости ветра с учетом (сплошная линия) и без учета (пунктир) примеси

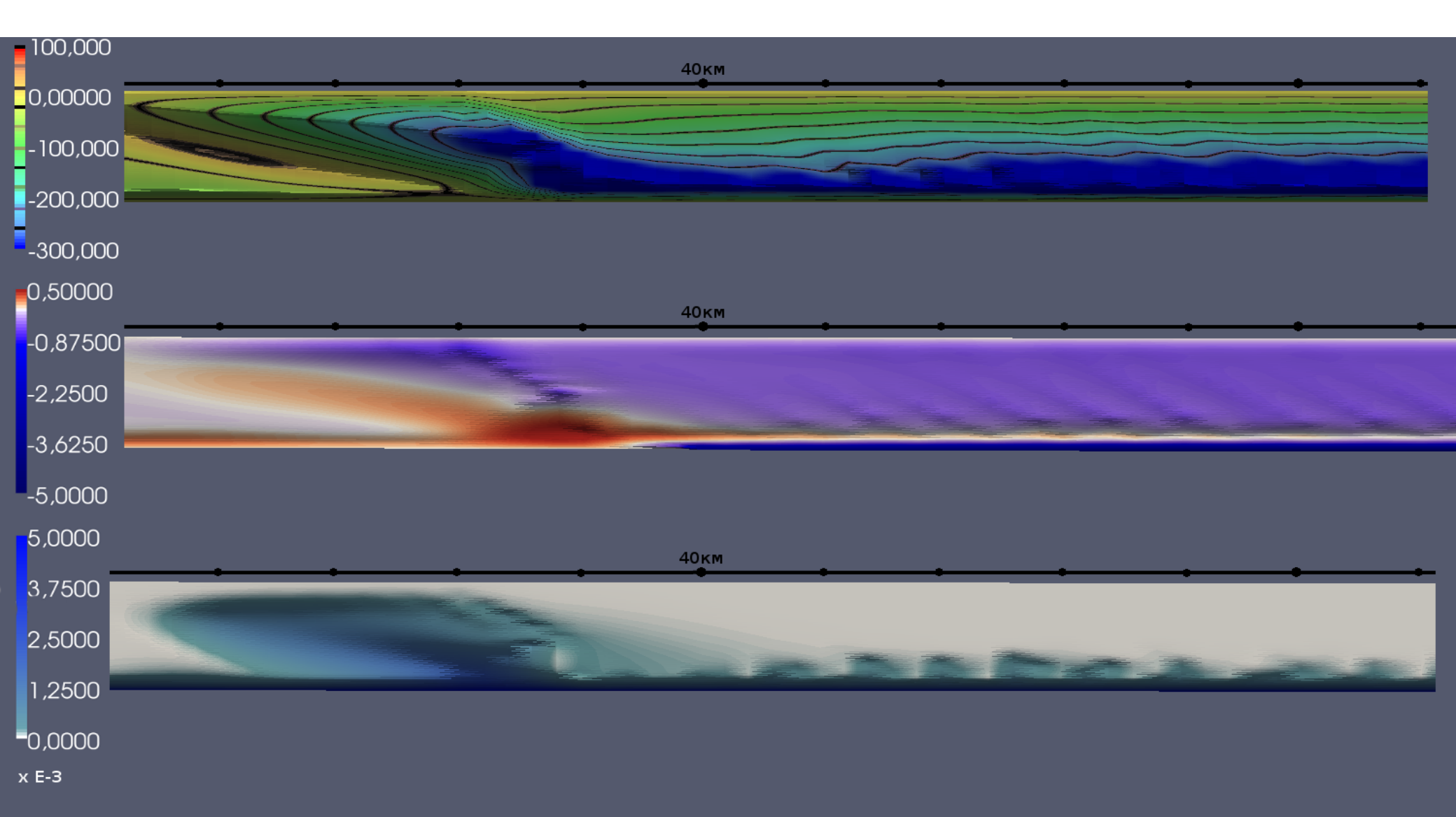


Двумерная задача (Русаев, 2011): эксперимент без частиц. Поля функции тока (верх) и отклонения потенциальной температуры (низ) на момент модельного времени 6 час.





Двумерная задача (Русаев, 2011): эксперимент с частицами. Поля функции тока (верх), отклонения потенциальной температуры (середина) и массовой концентрации частиц (низ) на момент модельного времени 6 час.



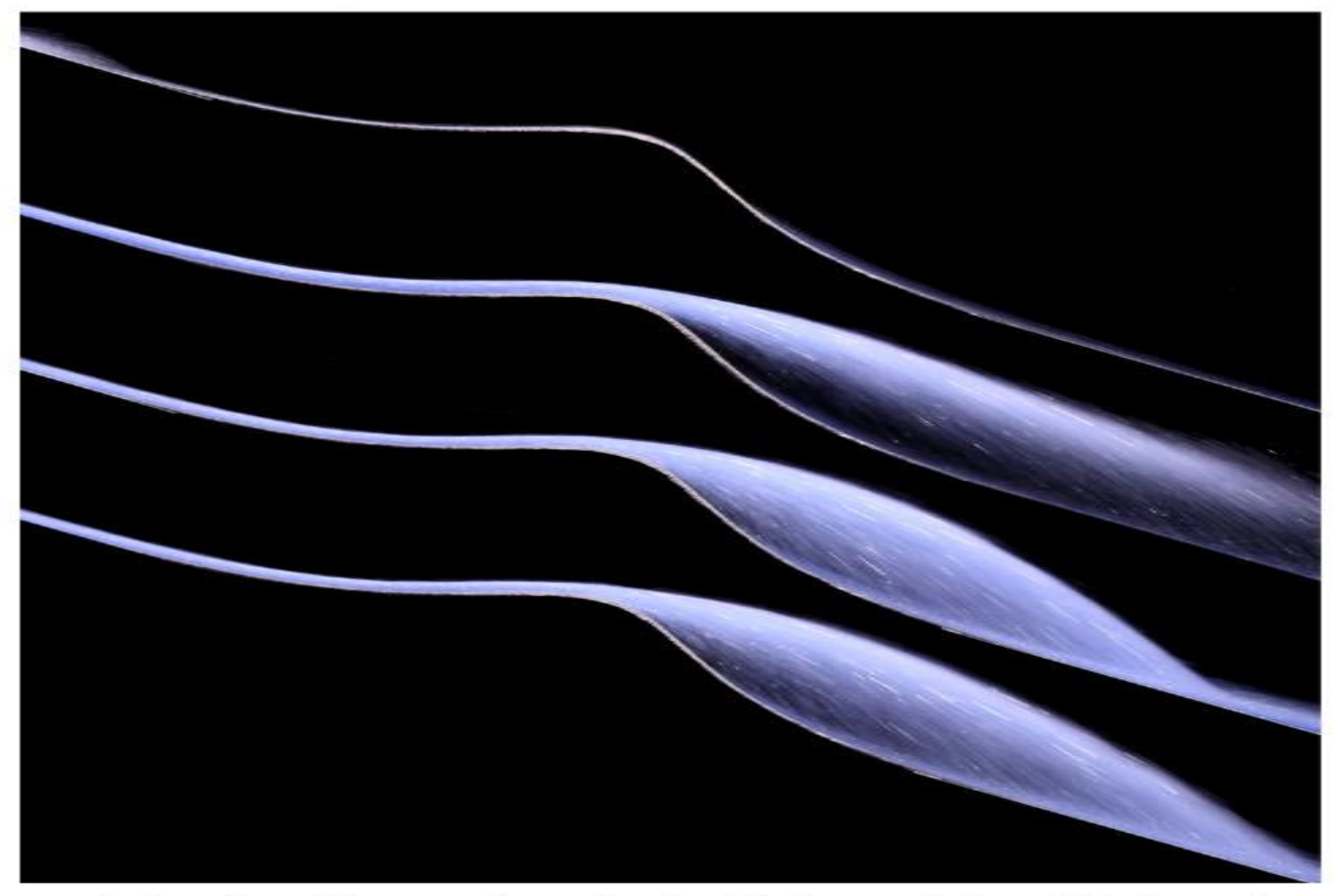
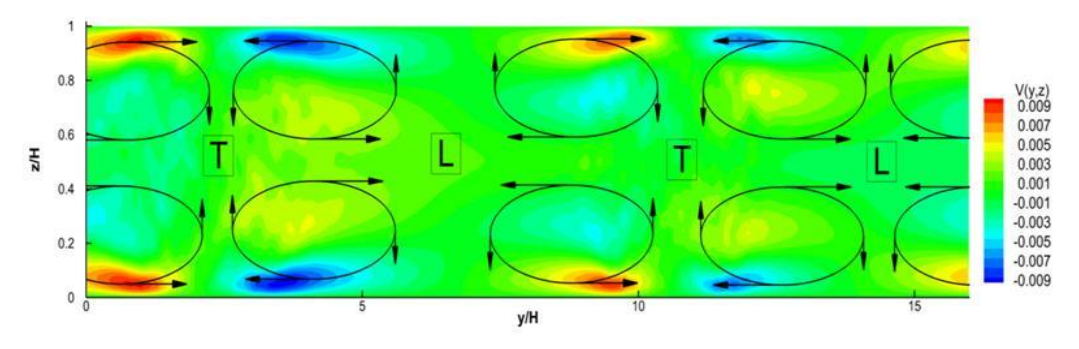


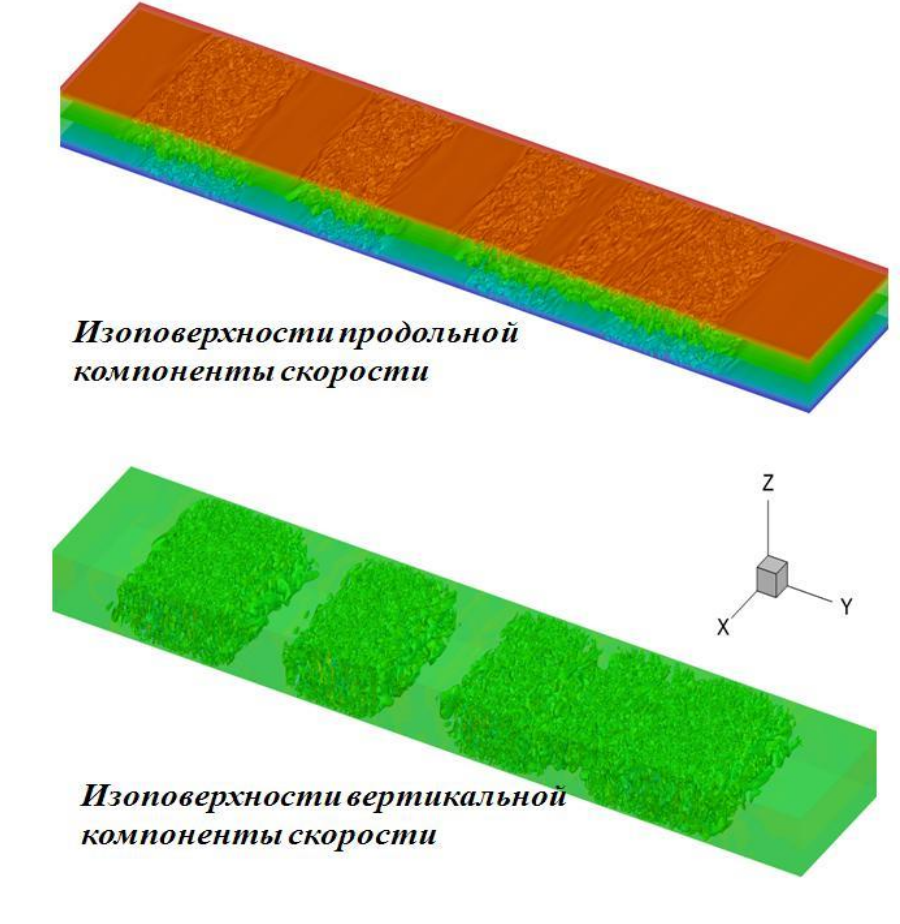
FIGURE 1. Snapshots of an experiment showing the time evolution of the jet to the steady state. As the oncoming material flows over the top of the bump it is able to detach from the base and follow ballistic trajectories, before landing and coming into contact with the chute once again. The experiment is performed at a constant slope angle $\theta = 39^{\circ}$ with pictures taken at approximate times t = 0.3; 0.6; 0.9 and 4.0 s. Note that the images have been slightly rotated to maximise space. The bump height of 4.75 cm acts as a scale. The time-dependent evolution is shown in supplementary movie 1, which is available online.

Структура турбулентного течения: режим сильной устойчивости

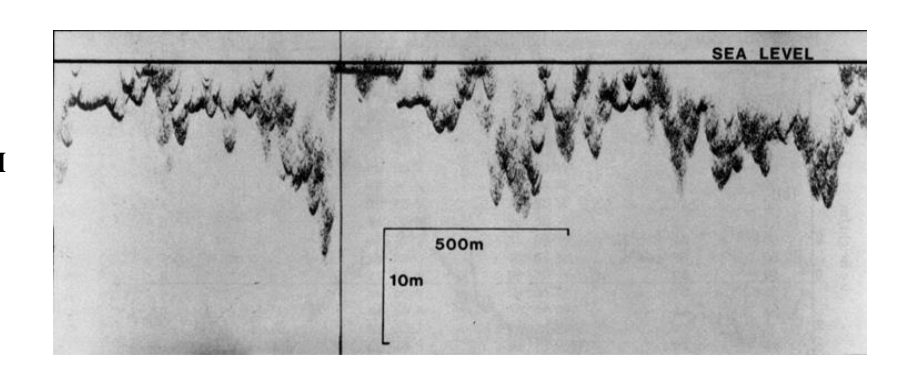
- Перемежающаяся турбулентность при сильной устойчивости
- Формирование вторичных структур в стратифицированной жидкости:
 - ответственны за поддержание турбулентности при числах Ричардсона, превышающих пороговое значение
 - поперечный размер валиков увеличивается при усилении стратификации дополнительное ограничение на размер вычислительной области



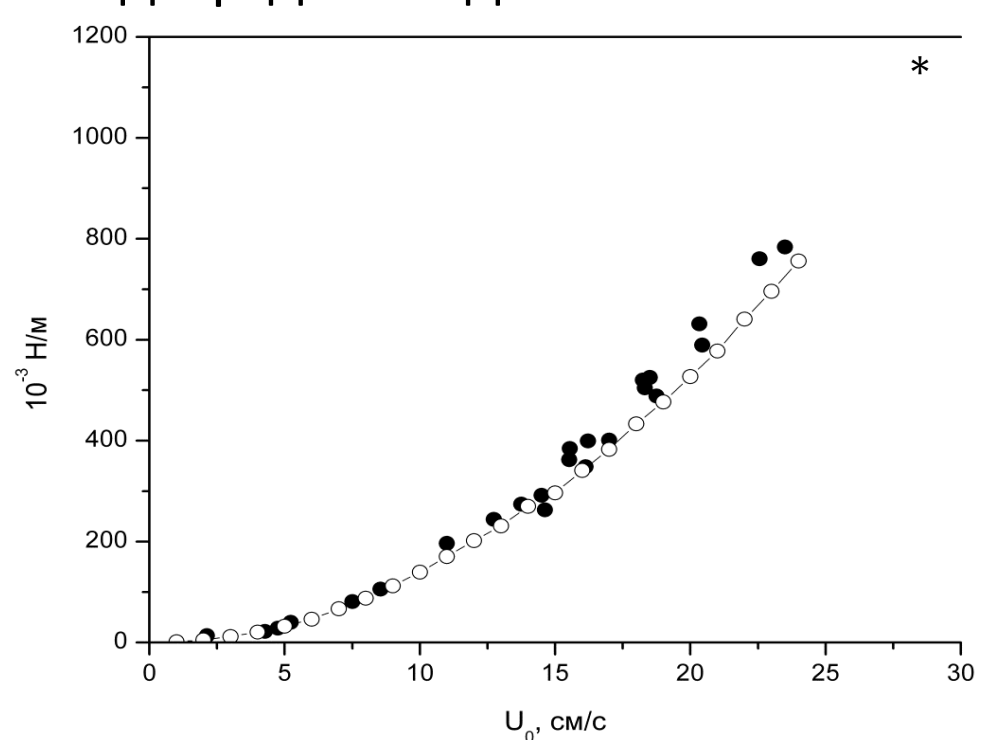
L – ламинарная подобласть течения T – турбулентная подобласть течения Глазунов А.В., Мортиков Е.В., Лыкосов В.Н. Суперкомпьютерные технологии математического моделирования геофизической турбулентности. — Труды конференции ВПМ-2017, г. Новосибирск



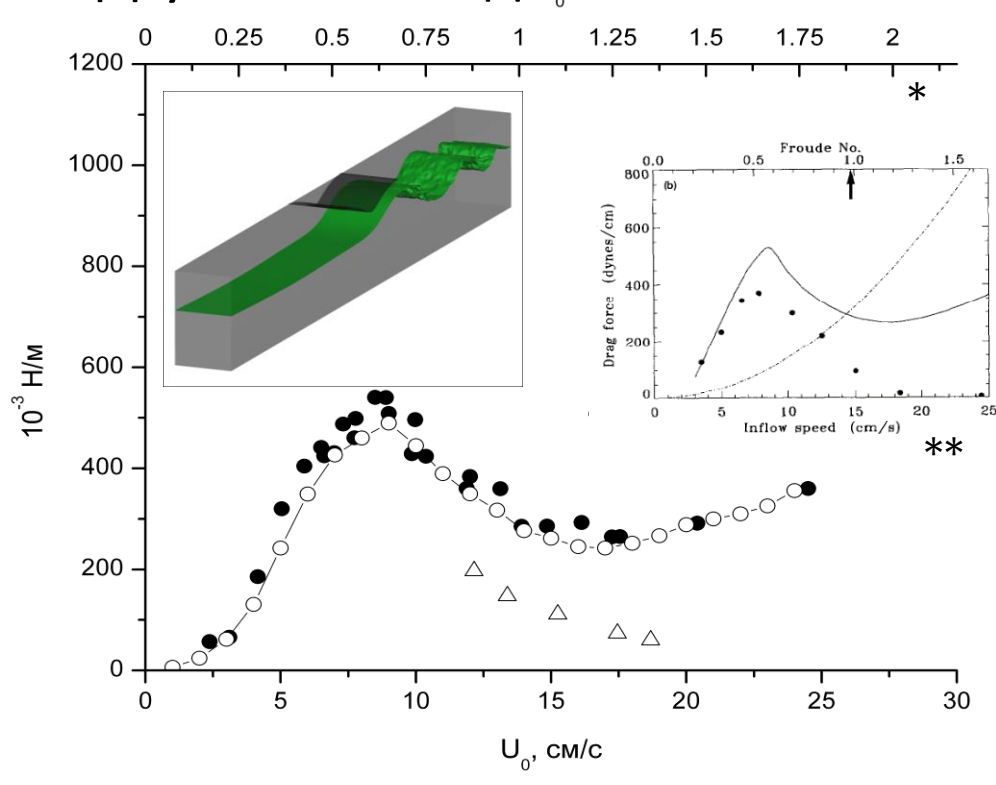
DNS. Численное моделирование движения ледяного киля Результаты расчета силы сопротивления







• Двухслойная жидкость



^{*} данные лабораторных экспериментов [Pite et al., 1995]

^{* *} численная модель [Cummins et al., 1994]

Модели турбулентных течений, разработанные в ИВМ РАН и НИВЦ МГУ

	Отличительные особенности (вычислительные методы и параметризации)	Возможности	Программная реализация и параллельные вычислительные технологии
DNS	Метод погруженной границы. Консервативные конечно-	Моделирование течений в областях сложной конфигурации, в том числе с подвижной границей. Решение модельных задач для исследования фундаментальных свойств турбулентности.	C++ MPI OpenMP CUDA
LES	разностные схемы высокого порядка точности. Динамическая подсеточная модель. Блок расчета лагранжева переноса трассеров.	Моделирование стратифицированных турбулентных течений при очень больших числах Рейнольдса на достаточно грубых сетках без необходимости подбора параметров. Изучение турбулентности и крупных организованных структур в ПСА. Моделирование и изучение турбулентности в городской среде. Задачи переноса примесей.	FORTRAN MPI

Исследование процессов взаимодействия атмосферного пограничного слоя умеренных и высоких широт с деятельным слоем суши и водоемами: разработка параметризаций для моделей Земной системы (грант РНФ № 17-17-01210, май 2017 г. — декабрь 2019 г.)

Теоретические и экспериментальные работы по изучению:

- турбулентной динамики и структуры атмосферного пограничного слоя над термически и орографически неоднородной подстилающей поверхностью;
- взаимодействия турбулентности и взвешенных частиц (в частности, снежных) в атмосферном пограничном слое (образование двухфазных стратифицированных турбулентных течений);
- термического режима, динамики парниковых газов и энергомассообмена в системе «пограничный слой атмосферы деятельной слой суши/водоём».

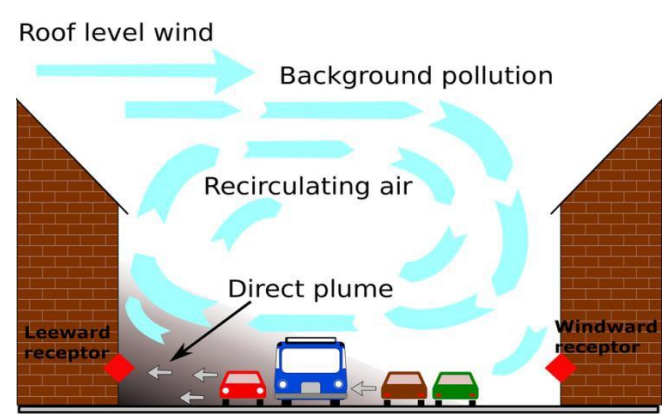
Неоднородные ландшафты



Границы "лес-поле", побережья — одна прямая или обратная ступенька

Водоёмы, окружённые лесами, лесные поляны — замкнутые открытые пространства

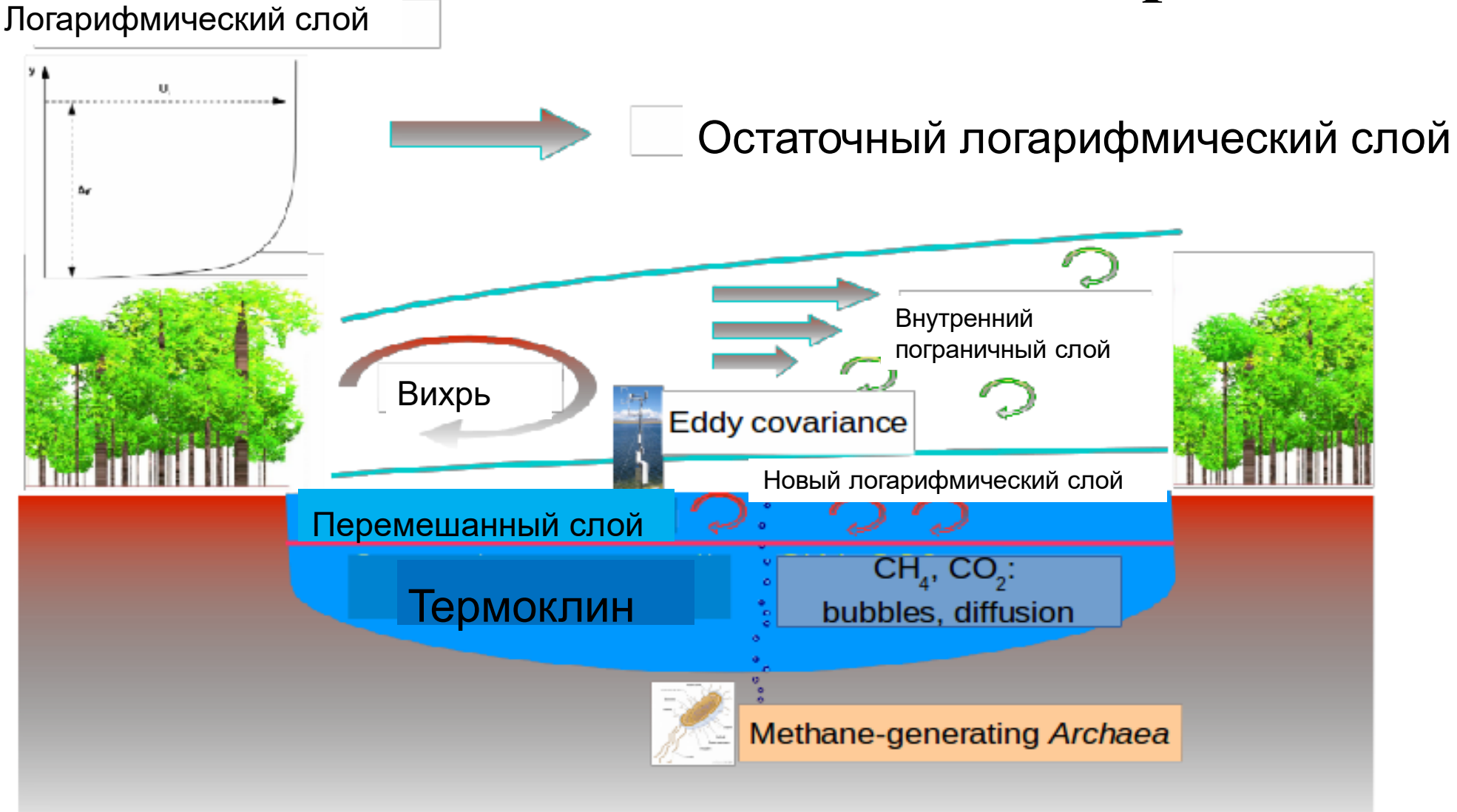




Городские улицы – каньоны

- Условия применимости теории подобия Монина Обухова не выполнены
- Аналитические футпринт-модели для метода турбулентных пульсаций не разработаны
- Метод теплового баланса даёт только локальный поток тепла, не репрезентативный для ландшафта в целом

Пограничный слой над озером



(а) (б)

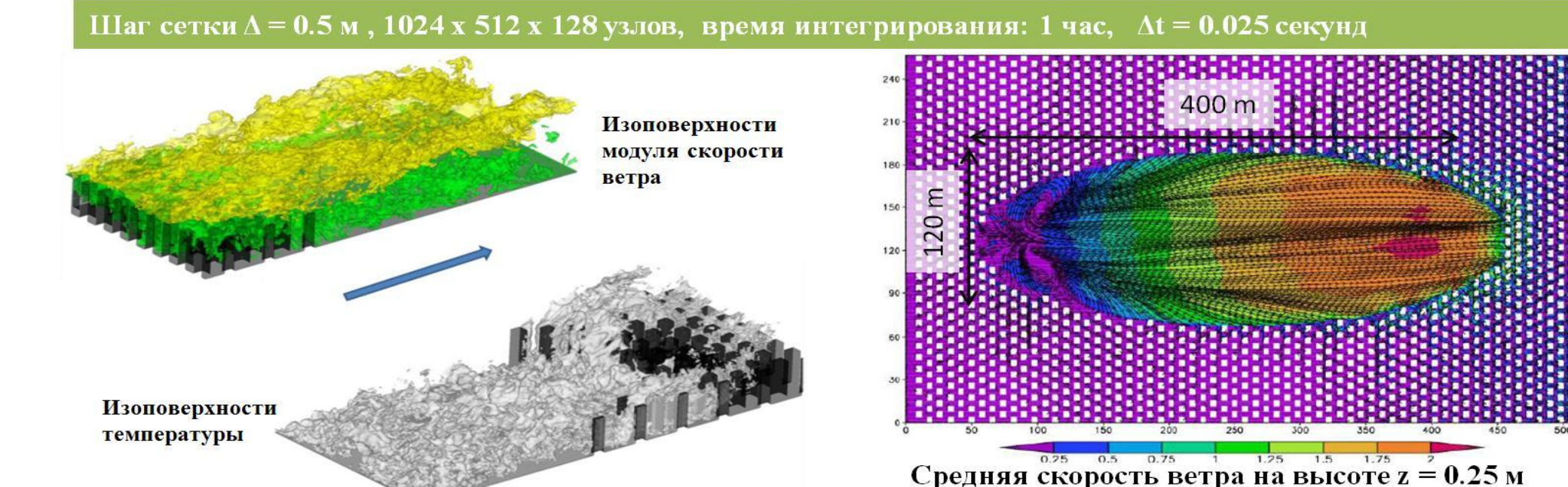
Глазунов и

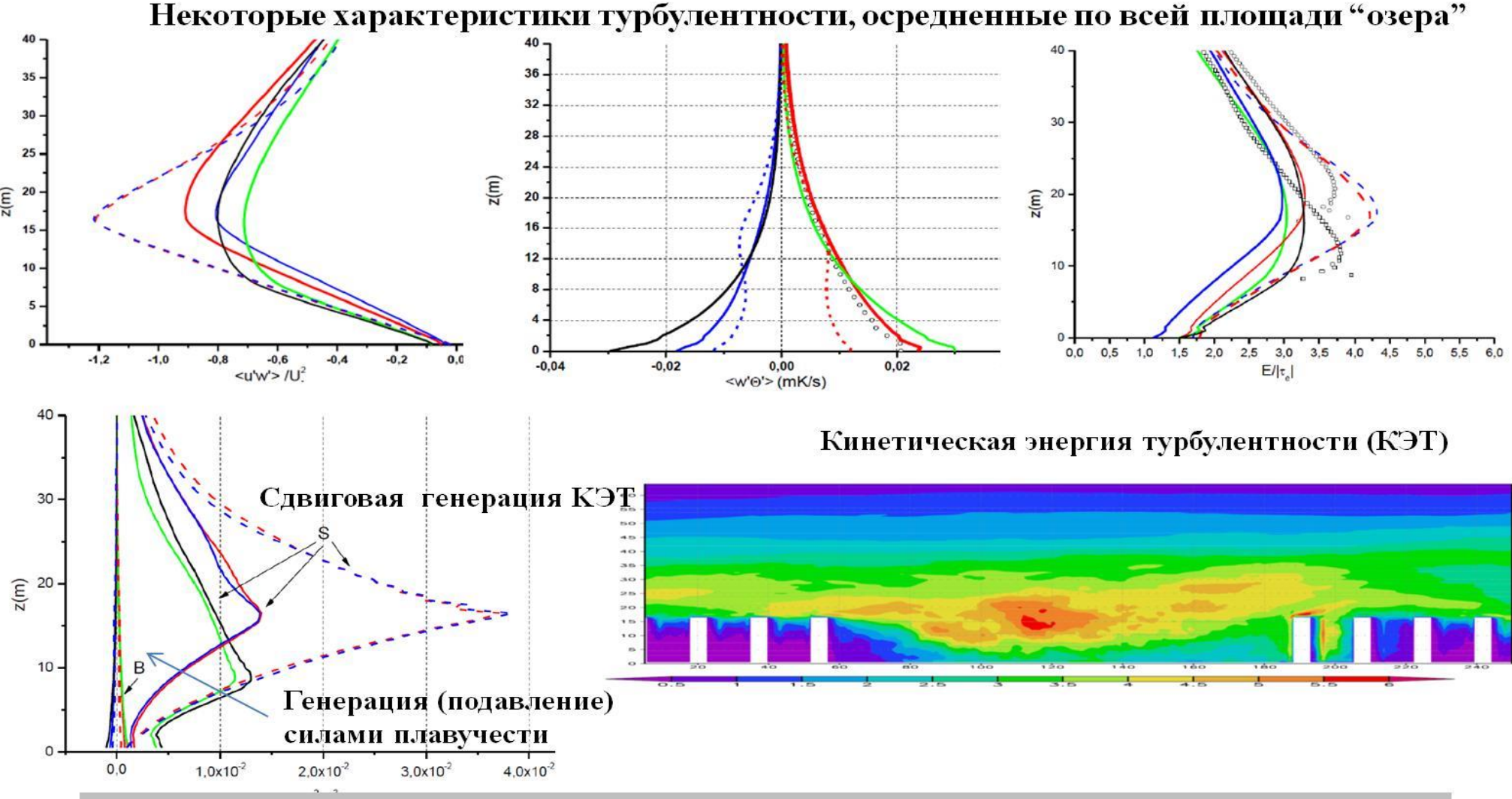
Степаненко,

Известия
РАН, сер.
ФАИО, 2015

Турбулентный поток генерируется вспомогательной моделью (а) с двоякопериодическими граничными условиями и с заданным массивом объектов на поверхности. Значения $\mathbf{z}_{0\mathbf{w}}$ и D соответствуют типичным значениям для лесной растительности.

Непериодическая расчетная область (б), включающая "озеро": z_{01} = 10^{-4} м, $T_s^{\,\, lake}$ = $T_s^{\,\, air}$ ± 5^0 C





- Слой постоянных потоков отсутствует (существенная часть тепла и влаги переносится над озером в горизонтальном направлении).
- Очень слабая чувствительность к стратификации (теория подобия Монина Обухова неприменима для вычисления турбулентных потоков над «озером»).

О ПРИМЕНИМОСТИ ТЕОРИИ ПОДОБИЯ ДЛЯ УСТОЙЧИВО СТРАТИФИЦИРОВАННОГО АТМОСФЕРНОГО ПОГРАНИЧНОГО СЛОЯ НАД ПОВЕРХНОСТЯМИ СЛОЖНОЙ СТРУКТУРЫ

К.В. Барсков^{*,**}, А.В. Глазунов^{***,**}, И.А. Репина^{*,**}, В.М. Степаненко^{**}, В.Н. Лыкосов^{***,**}, И. Маммарелла^{****}

*Институт физики атмосферы им. А.М. Обухова РАН
**Научно-исследовательский вычислительный центр МГУ имени М.В. Ломоносова
***Институт вычислительной математики им. Г.И. Марчука РАН
****Department of Physics, University of Helsinki, Finland

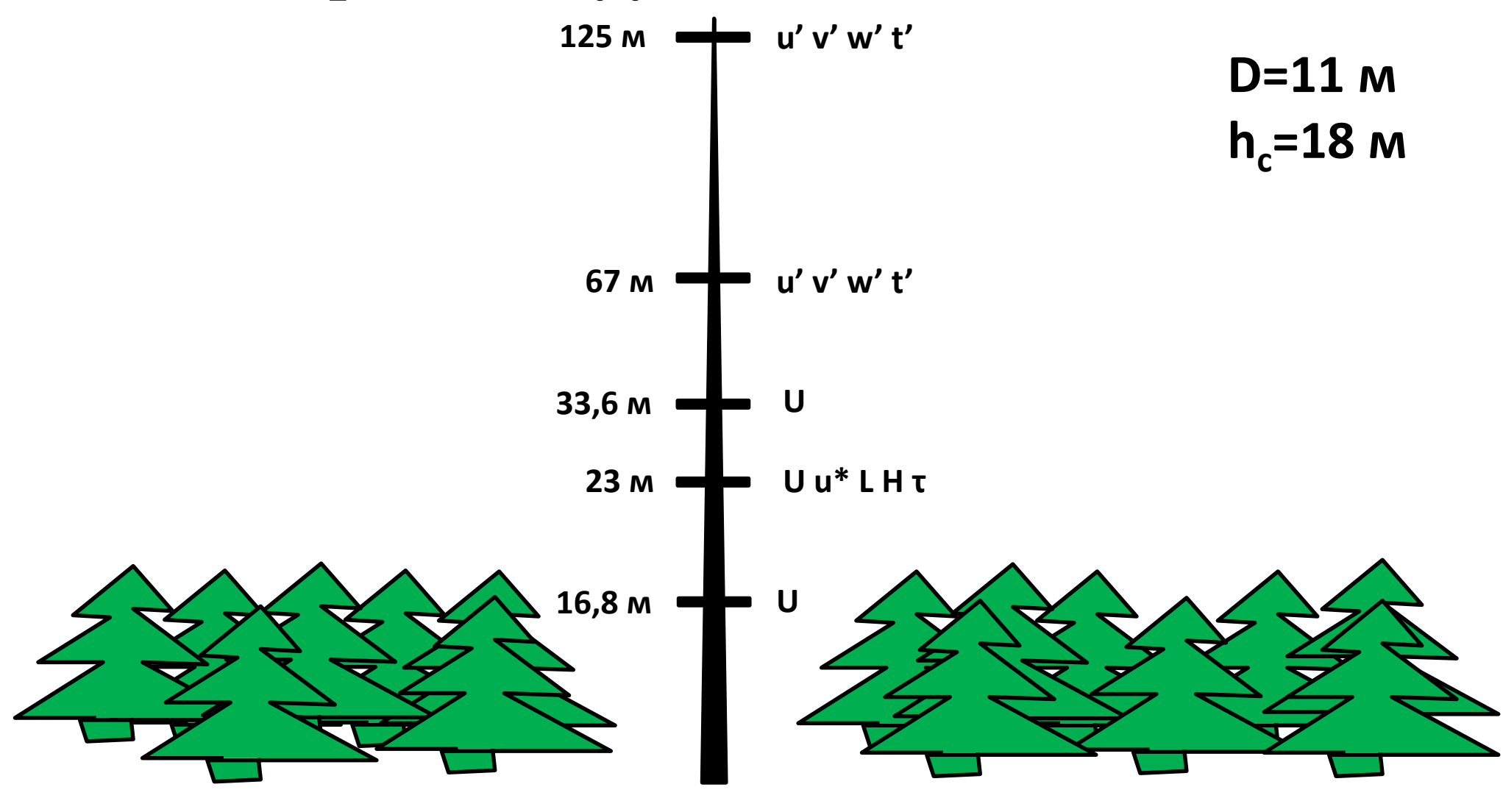
(Известия РАН. Физика атмосферы и океана, 2018, т. 54, № 5)



ИССЛЕДОВАНИЯ СТРУКТУРЫ АТМОСФЕРНОЙ ТУРБУЛЕНТНОСТИ ВНУТРИ ЛЕСА И НАД ЛЕСНОЙ РАСТИТЕЛЬНОСТЬЮ

- Учет процессов в биосфере при моделировании глобальных изменений климата
- Расчет переноса аэрозолей и газовых примесей
- Прогноз неблагоприятных погодных явлений
- Разработка аналитических и численных моделей динамики атмосферного пограничного слоя
- Развитие ветроэнергетики

Измерения: Hyytiala, 01.09.15-03.03.16



ПОТОКОВО-ГРАДИЕНТНОЕ СООТНОШЕНИЕ В УСТОЙЧИВОМ АПС НАД ПОВЕРХНОСТЬЮ С КРУПНЫМИ ЭЛЕМЕНТАМИ ШЕРОХОВАТОСТИ

$$\phi_m(\xi) = \frac{d\langle U \rangle}{dz} \frac{\kappa(z-D)}{u_*} \approx a(\gamma) + C_m \xi$$

<U>- средняя скорость ветра в направлении течения

$$\xi = \frac{\kappa(z-D)}{\Lambda}$$
 - параметр устойчивости

Л– масштаб длины Обухова на высоте измерений z

 $u_* = | au|^{1/2} - \partial$ инамическая скорость на высоте измерений z

Н – высота АПС

D – высота вытеснения

$$\gamma = (z - D)/H$$

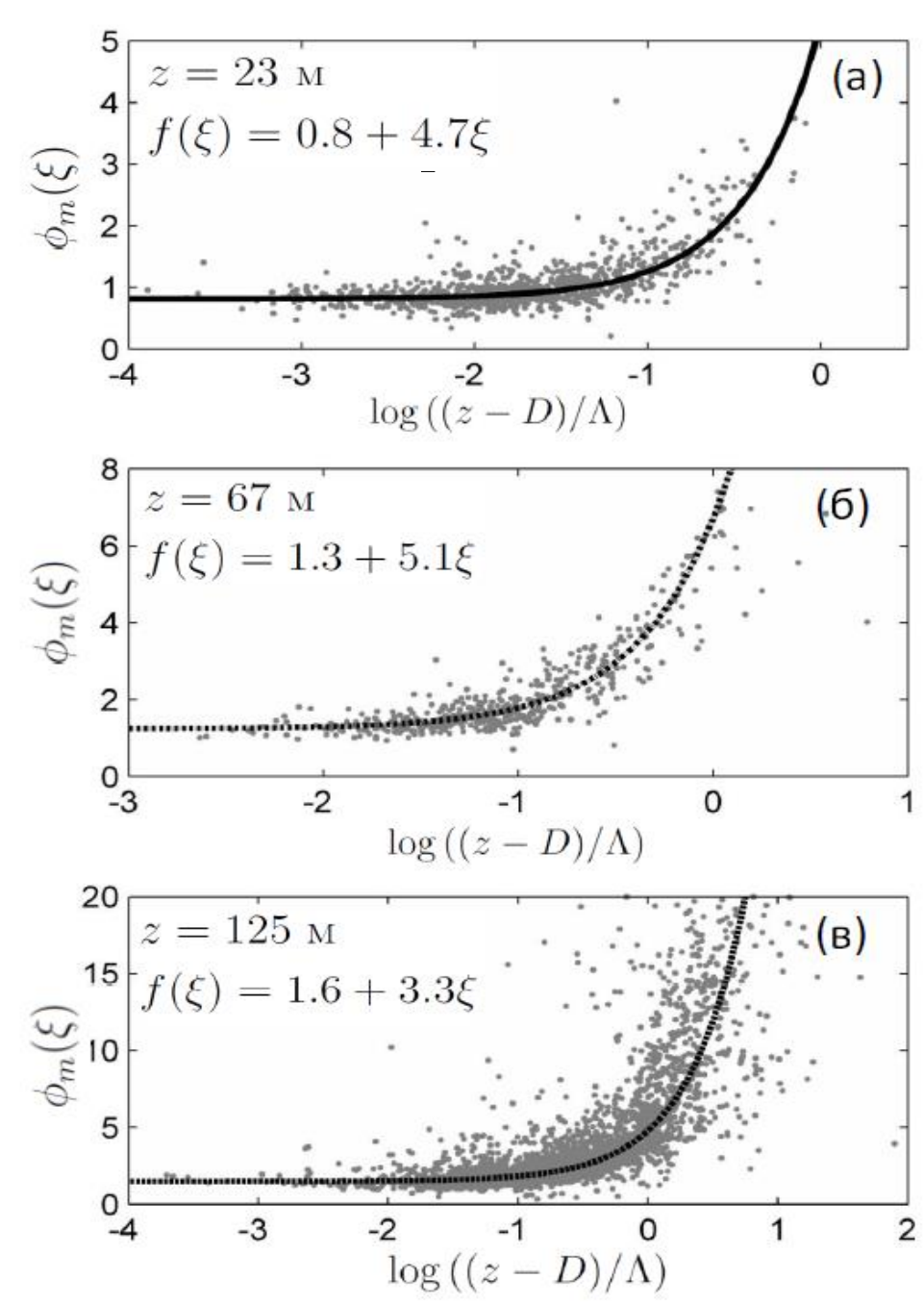
$$a(\gamma) = const \approx 1$$

 $Cm \approx 5$ - коэффициент, определяемый эмпирически

SMEAR II (Station for Measuring Ecosystem-Atmosphere Relations)

Университет Хельсинки (Хьютиала, Финляндия)





ГИПОТЕЗА

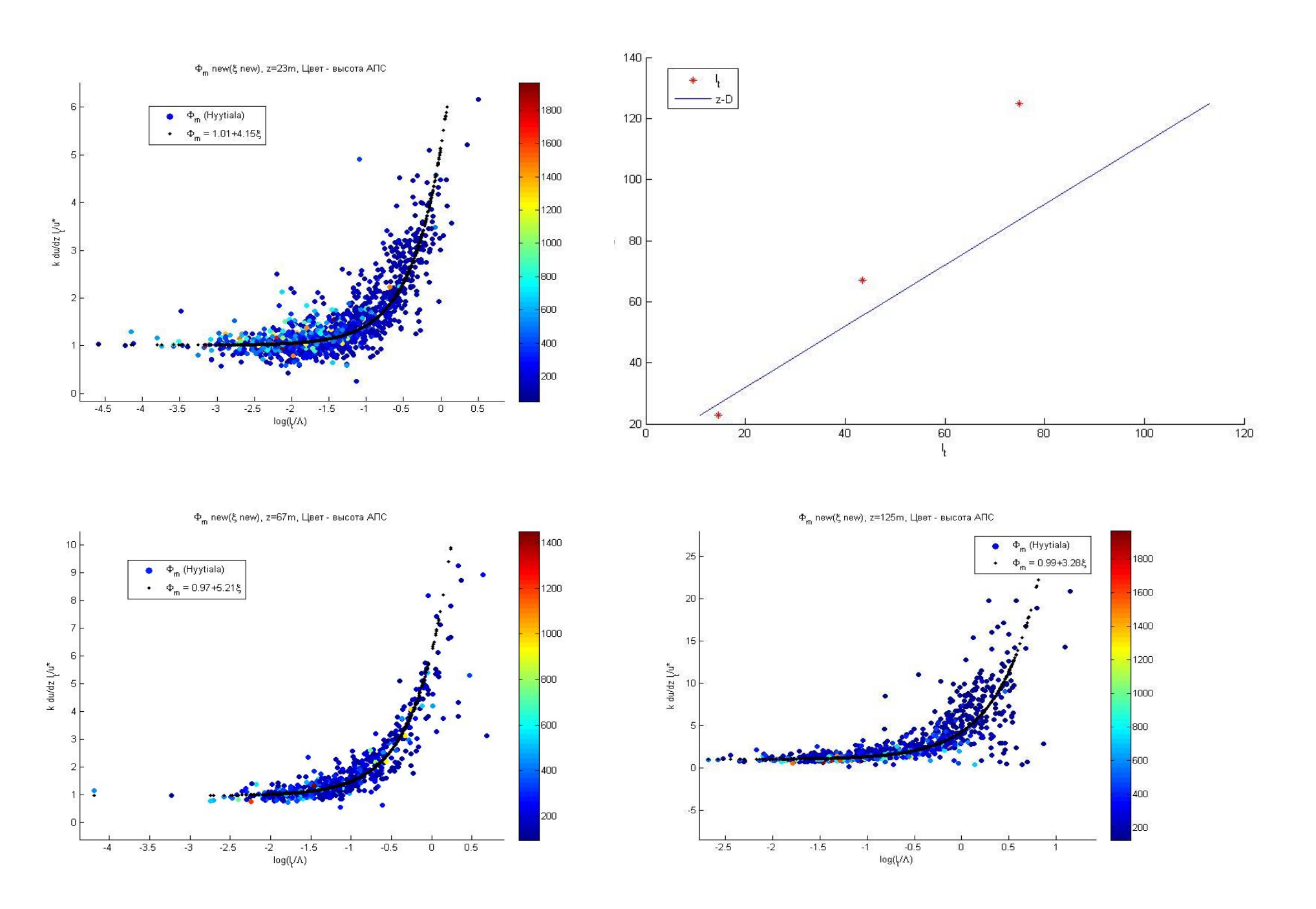
Новый масштаб турбулентностипри нейтральной стратификации, определяемый рельефом:

$$\kappa(z - D) -> l_t^b = \kappa(z - D)/a(\gamma)$$

$$\phi'_m(\xi') = \frac{d\langle U \rangle}{dz} \frac{l_t^b}{u_*}$$

$$\phi'_m(\xi') \approx 1 + C'_m \xi'$$

Гипотеза: C'_m для турбулентных течений над разными типами поверхностей не является функцией параметров, определяющих аэродинамические свойства этих поверхностей, и в пределах нижней части устойчивого АПС сохраняет постоянное значение.



КОРРЕКЦИЯ ГРАДИЕНТА СРЕДНЕЙ СКОРОСТИ ВЕТРА ВБЛИЗИ ВЕРХНЕЙ ГРАНИЦЫ АПС

$$| au(z)|/U_*^2 pprox (1-z/H)^{3/2}$$
, $F_b(z)/F_b\Big|_{z=0} pprox (1-z/H)$
 $l_t^B = \langle U_*/\frac{d\langle U \rangle}{dz} \rangle$

$$l_t^{nb} \approx l_t^B |\tau|^{1/2}/U_*$$

 $l_t^g = \frac{l_t^{nb}}{1 + C_m l_t^B/L}$ - связан с потоками на поверхности, отвечает за крупные вихри с размерами, сравнимыми с высотой z.

 $l_t^s = \frac{l_t^{nb}}{1 + C_m l_t^{nb}/\Lambda}$ учитывает локальные значения потоков плавучести и импульса, связан с мелкомасштабной сдвиговой турбулентностью, сгенерированной на высоте измерений.

$$l_t^{mix} = \left(C_1 \frac{1}{l_t^g} + C_2 \frac{1}{l_t^s}\right)^{-1} = \frac{C l_t^g l_t^s}{l_t^g + (C - 1) l_t^s}$$

1)
$$\frac{1}{l_t} \approx \frac{1}{\kappa(z-D)} + \frac{C_m}{\Lambda}$$
 $\longrightarrow \frac{1}{l_t} \approx \frac{1}{l_b^b} + \frac{C_m'}{\Lambda}$ $\longrightarrow \frac{1}{l_t} \approx \frac{1}{l_b^b} + \frac{C_m'}{\Lambda}$ $\longrightarrow \frac{1}{l_t} \approx \frac{1}{l_t^b} + \frac{C_m'}{\Lambda}$ $\longrightarrow \frac{1}{l_t} \approx \frac{1}{l_t^b} + \frac{C_m'}{\Lambda}$ $\longrightarrow \frac{1}{l_t} \approx \frac{1}{l_t^b} + \frac{C_m'}{\Lambda}$ $\longrightarrow \frac{1}{l_t^b} = \frac{1}{l_t^b} + \frac{C$

плавучести на поверхности.

Диагноз и численное моделирование динамики пограничного слоя атмосферы и состояния наземных экосистем Арктики в условиях антропогенной нагрузки (грант РФФИ № 18-05-60126; июнь 2018 г. – май 2021 г.)

Основные задачи проекта:

- создание новых вычислительных технологий многомасштабного моделирования турбулентных течений и переноса газовых и мелкодисперсных примесей в городской среде и в пограничном слое атмосферы над городом и его окрестностями;
- диагноз накопления примесей, содержащих тяжелые металлы, в растительном покрове территорий, прилегающих к городу, на основе данных наблюдений (Надым, Норильск) и численного моделирования;
- на основе данных дистанционного зондирования, натурных наблюдений и результатов численного моделирования оценка влияния урбанизации на эволюцию снежно-ледяного покрова окружающих территорий, ледовый и биогеохимический режим термокарстовых озёр;
- разработка новых физически обоснованных параметризаций тепло- и влагообмена в моховом покрове, динамической и термической шероховатости и теплового баланса различных типов подстилающей поверхности, включая городскую среду.

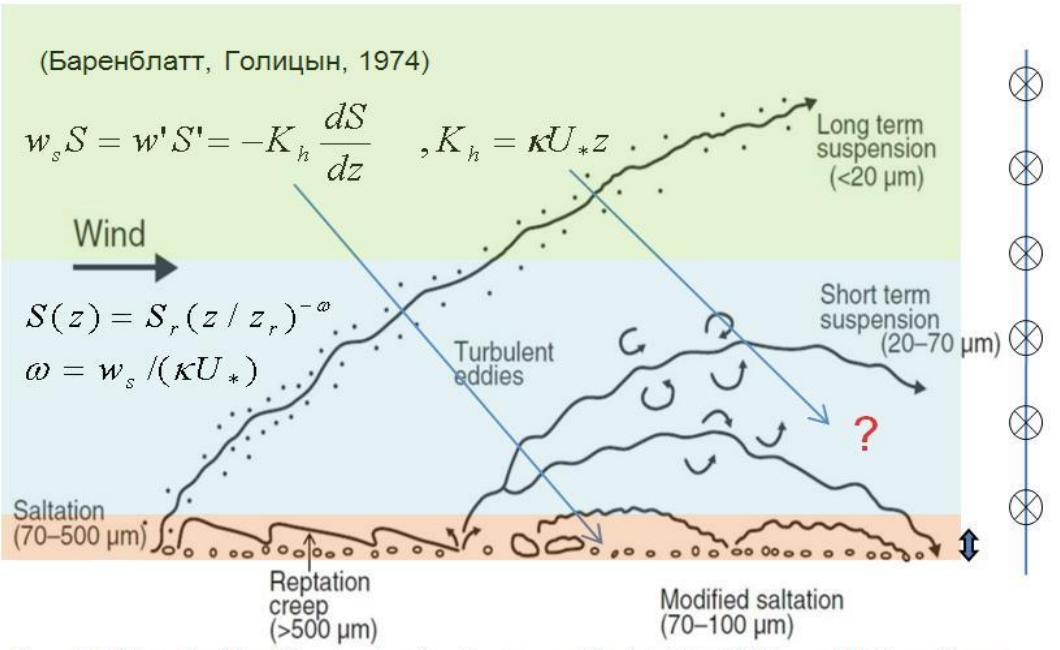
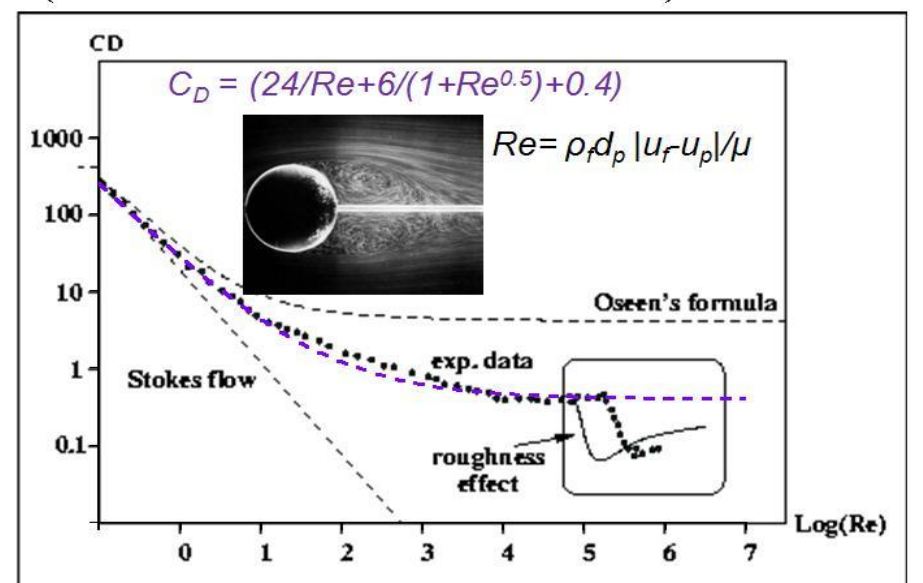


Figure 1.1. Schematic of the different modes of aeolian transport. Reprinted from Nickling and McKenna Neuman (2009), with kind permission from Springer Science+Business Media B.V.

$$du_{i}^{p} = \left(\frac{3}{4} \frac{C_{D}}{d_{p}} \frac{\rho_{f}}{\rho_{p}} | \vec{u}_{f} - \vec{u}_{p} | (u_{fi} - u_{pi}) - \delta_{i3}g\right) dt, \quad u_{fi} = \overline{u}_{fi} + u'_{i}$$



Слой ~10¹-10³ м. Перенос и турбулентная диффузия мелкодисперсных примесей. Применимы подходы для пассивных трассеров.

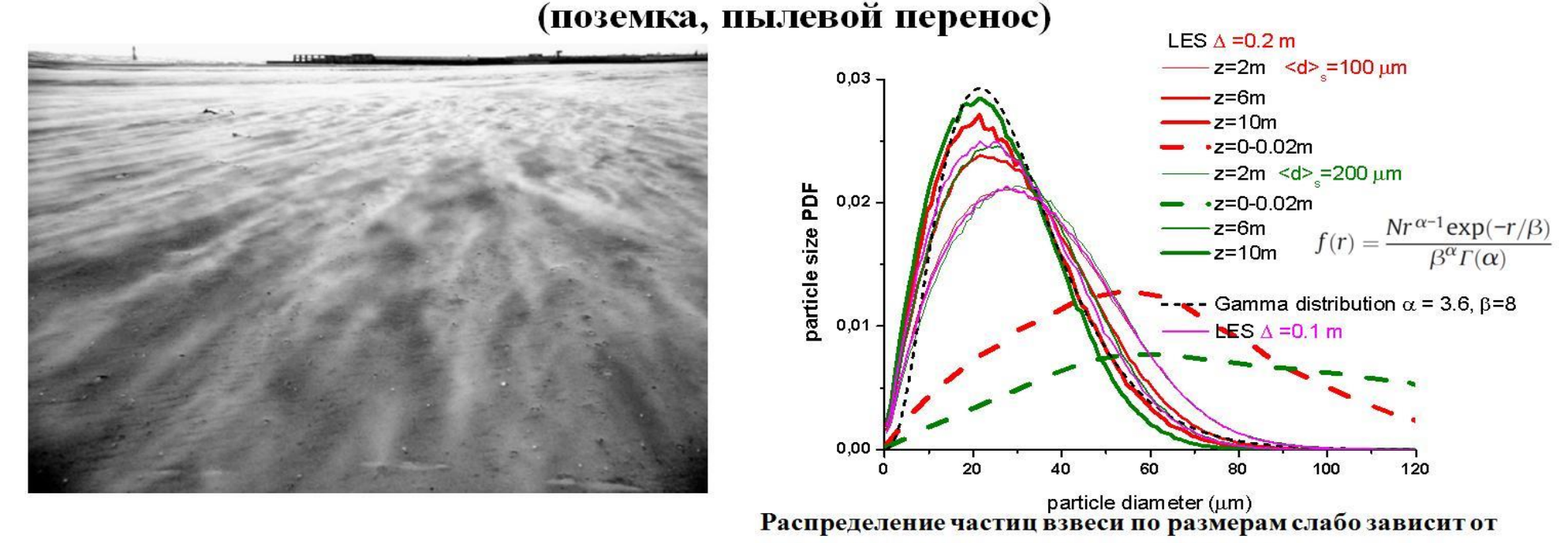
Слой равновесия между турбулентным перемешиванием и гравитационным оседанием ~ 1-10 м. Взвесь воздействует на турбулентность в основном за счет изменения суммарной плотности двухфазной жидкости. Нужно ли учитывать турбофорез (миграцию инерционных частиц в неоднородном турбулентном поле), эффекты инерции частиц?

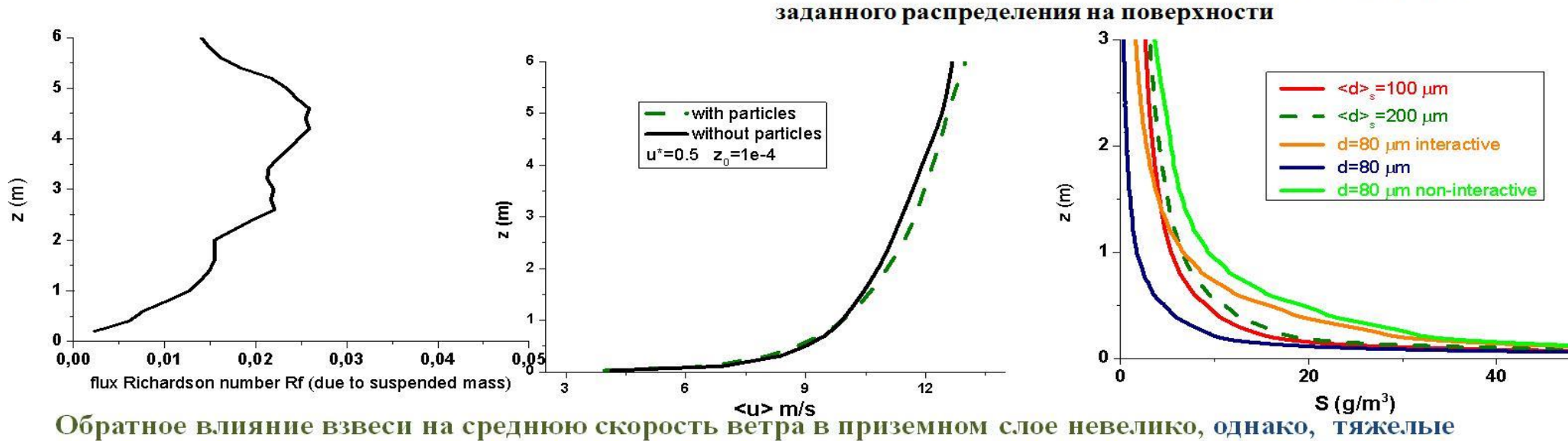
Параметризации для LES: 1) подсеточная стохастика с учетом инерции частиц, 2) обратное влияние ансамбля частиц на разрешаемую и подсеточную турбулентность (возможно осреднение на масштабах шага сетки).

Слой сальтации ~10⁻² м. Непосредственное воздействие индивидуальной динамики частиц на турбулентность в энергонесущем интервале. Важная роль молекулярной вязкости. Столкновения частиц. Проблемы с представлением частицы как материальной точки (уравнение движения; силы, связанные с вращением и сдвигом скорости на масштабе размера частицы; ...}

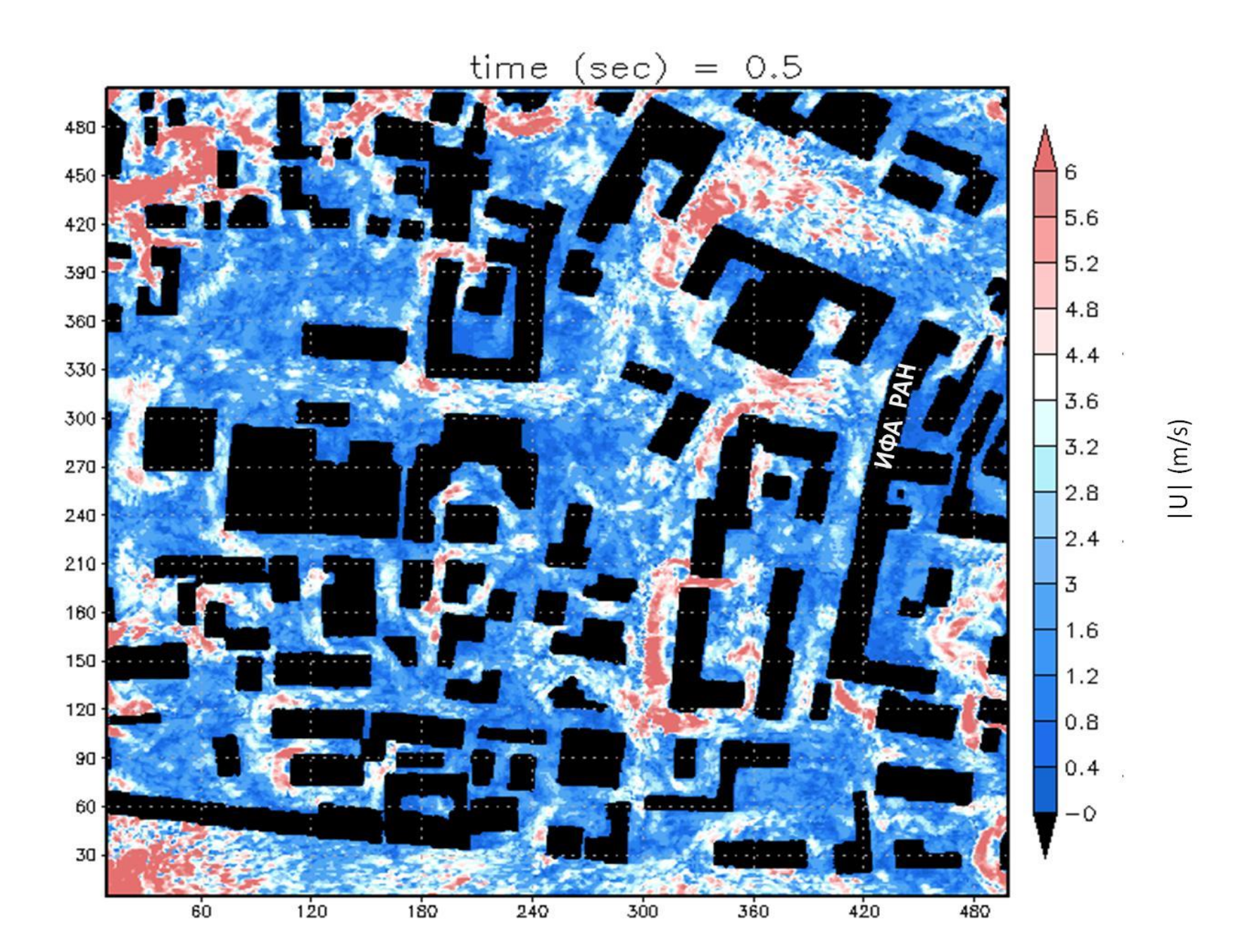
Параметризации для LES: 1) обмен частицами на поверхности с учетом динамического вовлечения, многократных отражений, выбивания новых частиц старыми (эмпирические зависимости, случайные процессы с заданными функциями распределения); 2) воздействие слоя сальтации на внешний поток за счет изменения динамической и термической шероховатости поверхности ($z_0 = z_{0i} + a \ U_*^2/g$?)

LES. Перенос взвесей тяжелых частиц в приземном слое





Обратное влияние взвеси на среднюю скорость ветра в приземном слое невелико, однако, тяжелые инерционные частицы имеют тенденцию к кластеризации и их локальным обратным воздействием на поток пренебречь нельзя.



Scales of urban climate studies

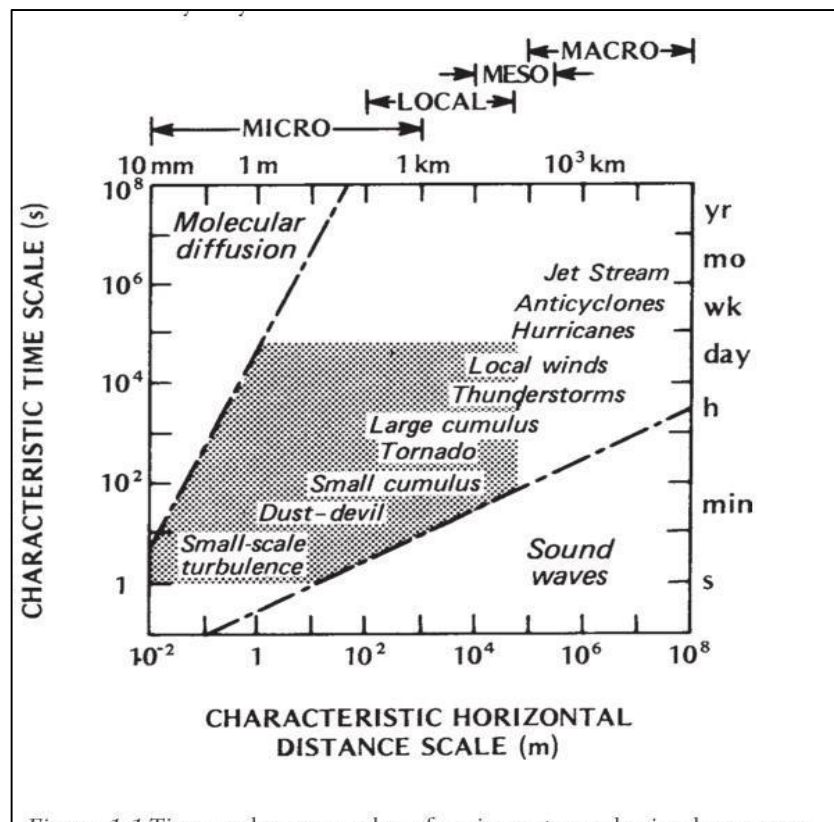


Figure 1.1 Time and space scales of various atmospheric phenomena. The shaded area represents the characteristic domain of boundary layer features (modified after Smagorinsky, 1974).

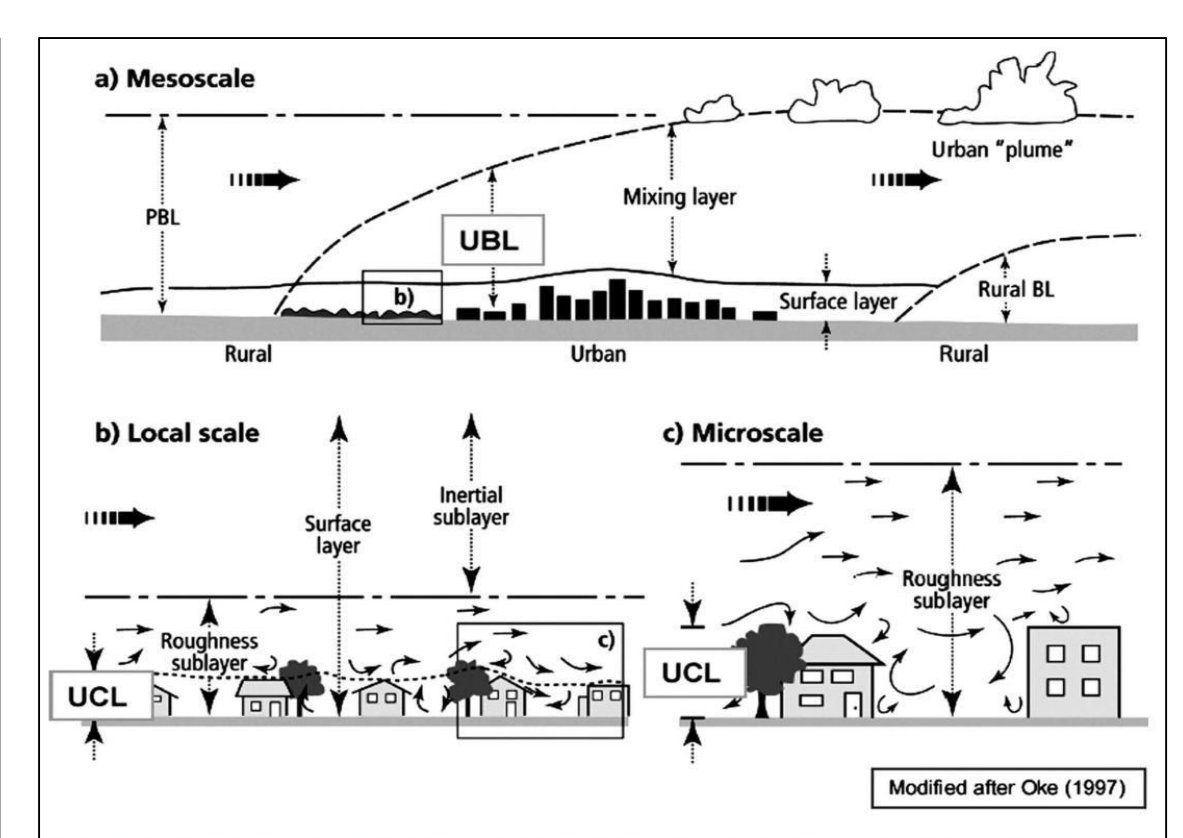


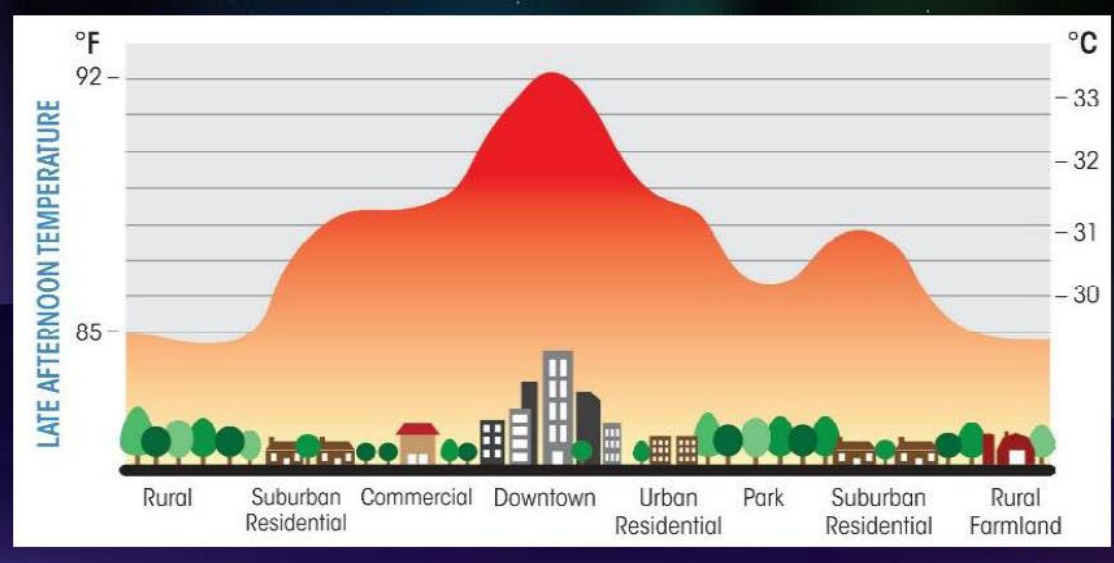
Figure 1. Various scales linking urban environments to the environmental system (modified after Oke (Oke 1987): urban canopy layer (UCL) and urban boundary layer (UBL)).

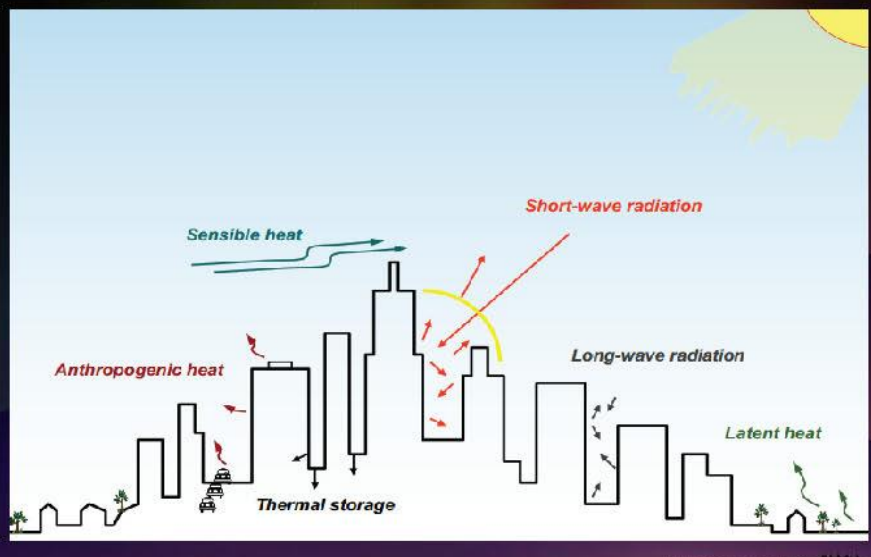
(Oke, 1987)

(Shepard, 2005)

Мотивация

Эффект городского острова тепла изучен для умеренных широт, но не для Арктики





Ключевые вопросы:

- 1) Существуют ли острова тепла в Арктике?
- 2) Какая их интенсивность (величина термической аномалии)?
 - 3) Каково их влияние на общество и экосистемы?

Перенос примесей в городской среде

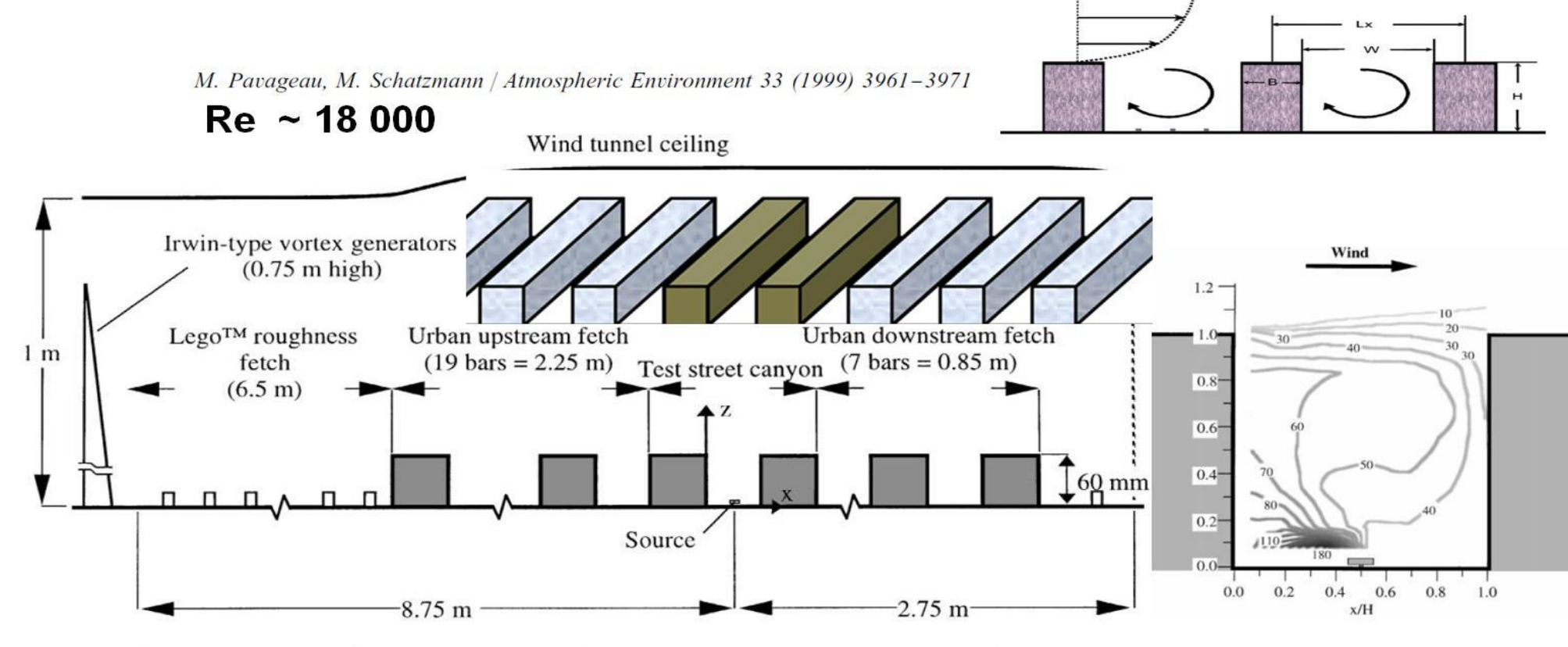
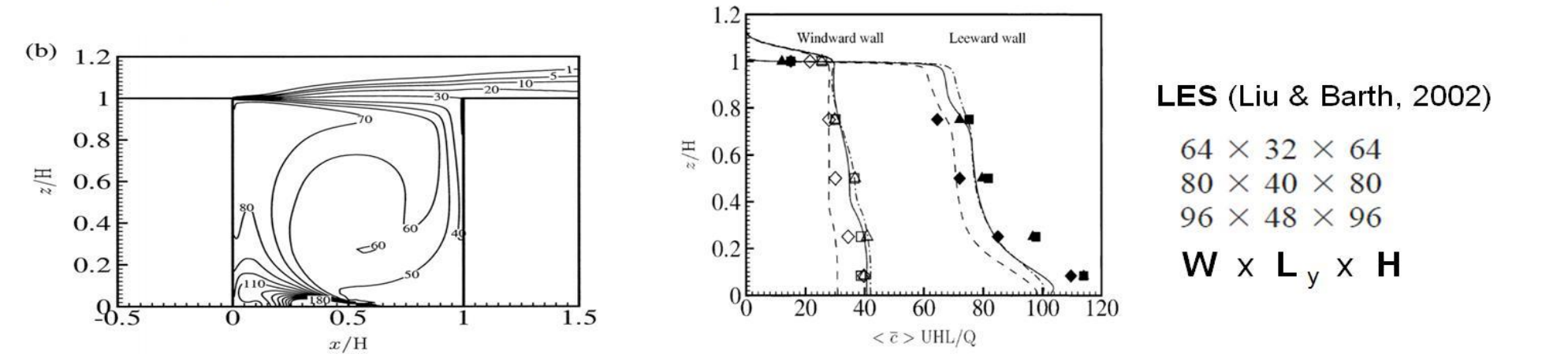
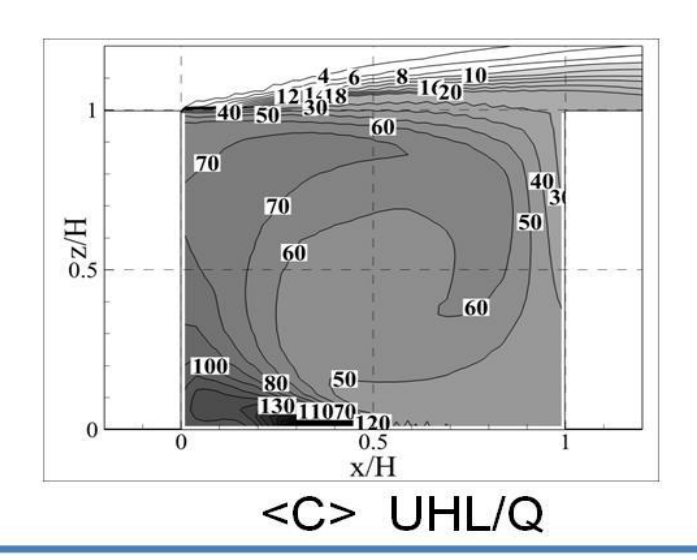


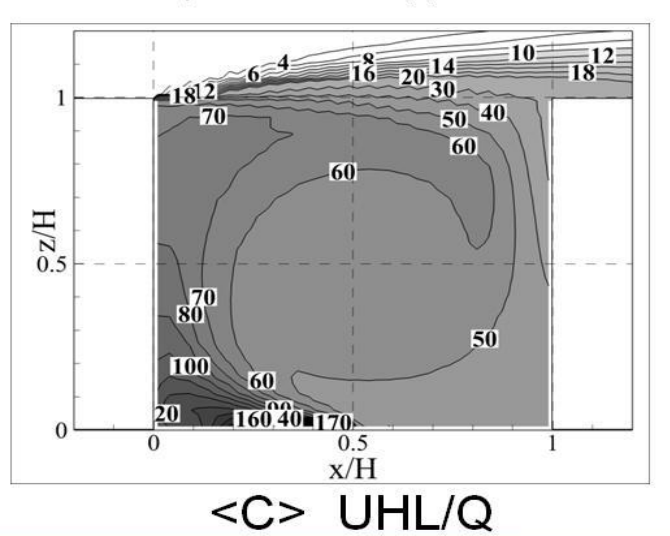
Fig. 1. Side view of the two-dimensional urban model (flow direction from left to right).



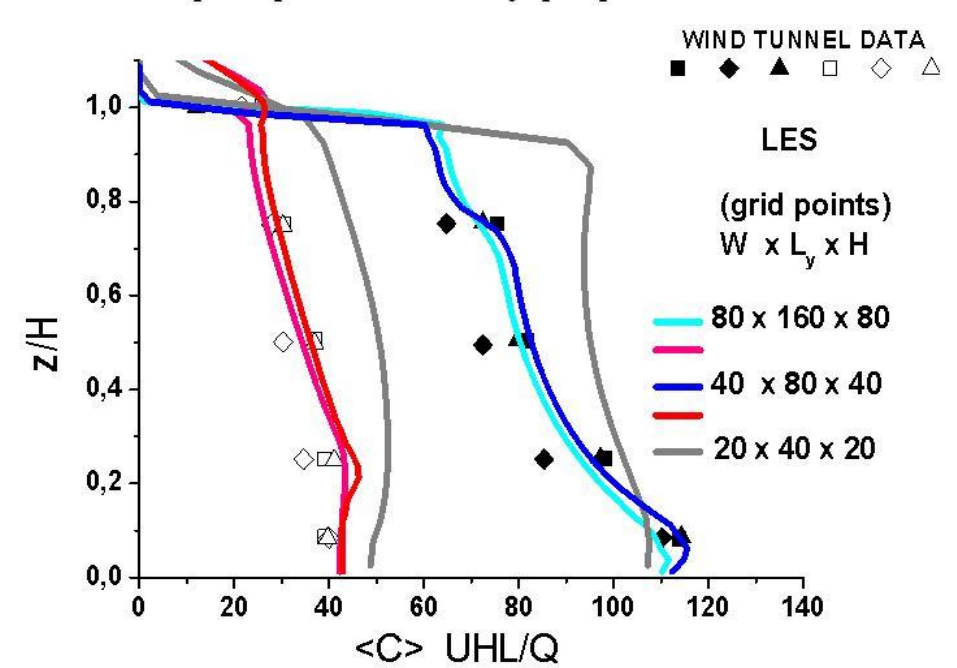
Re ~2*10⁷, z_0 =0.025 m H=30 m



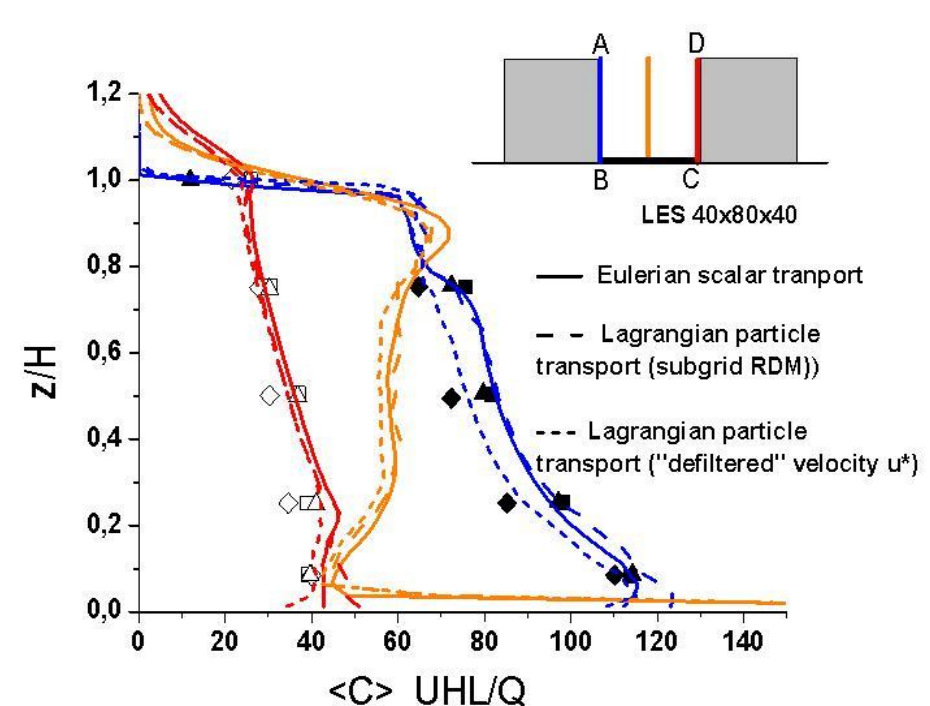
Re =18 000, условие прилипания на стенках, вязкий подслой



Проверка чувствительности модели к пространственному разрешению



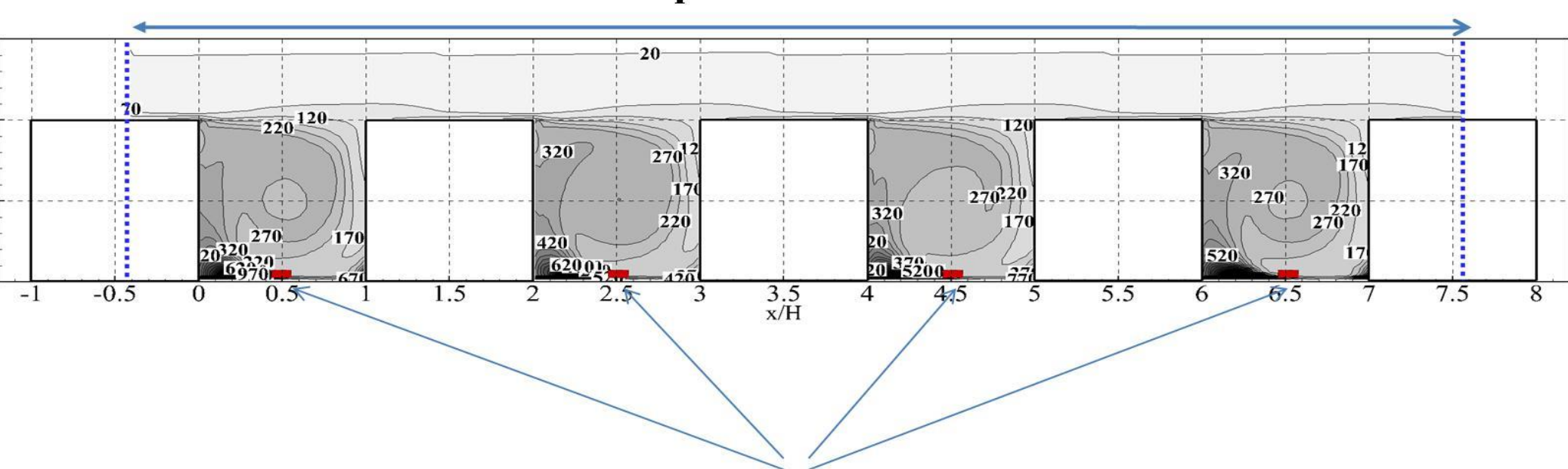
Сравнение лагранжева и эйлерова подходов



Перенос тяжелых частиц в городском каньоне

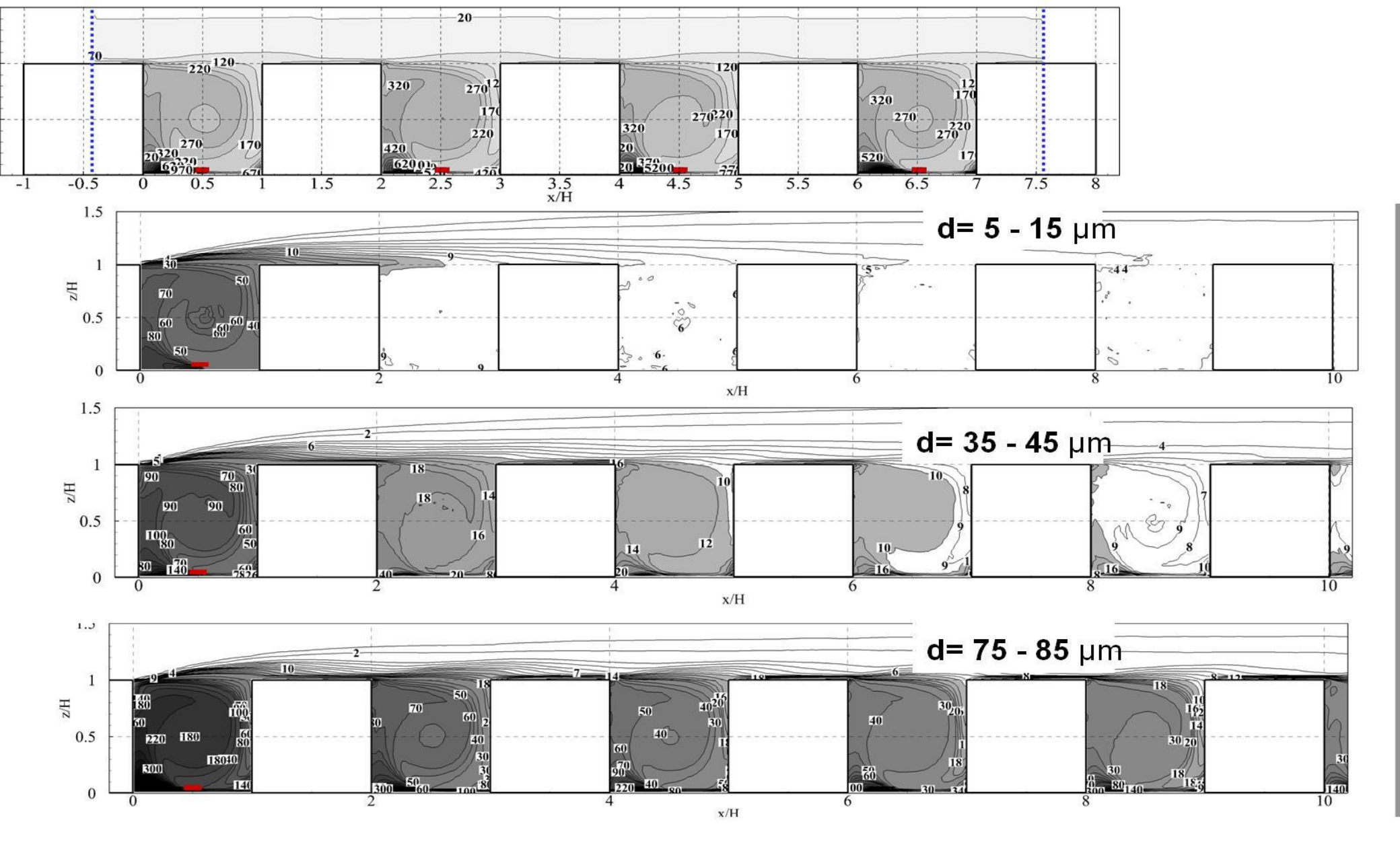
Carbon spherical particles (ρ_p = 2000 kg/m³, d=0 - 100 μm), U=0.5 m/s, H=30 m, W=30 m, L=30 m, air kinematic viscosity = 1.3*10 -5 m²/s, Re_{flow} ~ 2*10⁷, Re_p < 100, particle falling terminal velocity $U_t/U \le 1$ (less than mean air velocity inside cavity) .

LES periodic domain



Источники примеси (частицы с размерами d= 0 - 100 µm)

LES + лагранжева стохастическая подсеточная модель



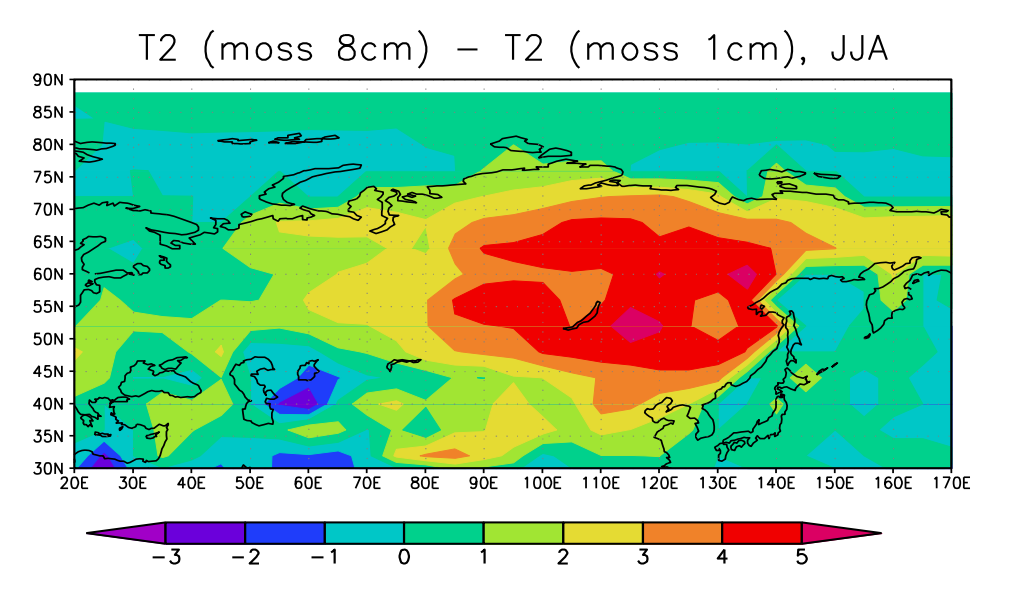
Перенос тяжелых частиц (пыли, сажи)в городской среде может быть очень эффективным.

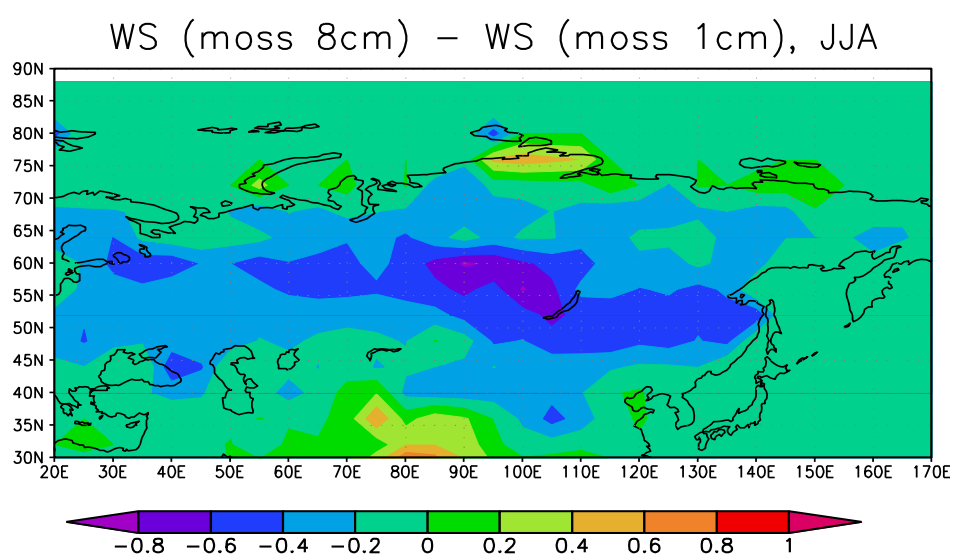
Mosses

- "Mosses dominate the surface cover in high northern latitudes and have the potential to play a key role in modifying the thermal and hydrologic regime of Arctic soils. These modifications in turn feed back to influence surface energy exchanges and hence may affect regional climate. However, mosses are poorly represented in models of the land surface." (Beringer et al., J.Climate, 2001)
- Parameterizations of mosses are included in NCAR Land surface model (Beringer et al., 2001), MetOffice's JULES (Chadburn et al., 2015), ORCHIDEE (Druel et al., 2017)
- All of them treat mosses as an additional soil layer of ~5 cm, with decreased heat and moisture transfer coefficients
- Species diversity of mosses is not taken into account

Многолетняя мерзлота в модели ОЦА ИВМ РАН







Laboratory studies of moss transfer properties

Energy and Buildings 158 (2018) 1417-1428

Contents lists available at ScienceDirect

Energy and Buildings

ELSEVIER journal homepage: www.elsevier.com/locate/enbuild

Effects of convection heat transfer on Sunagoke moss green re A laboratory study

M. Amir A. K. ^{a,1}, Yasuo Katoh ^{a,*}, Hiroshi Katsurayama ^a, Makoto Koganei ^b, Makoto Mizunuma ^c

^a Yamaguchi University, Department of Systems Design and Engineering, Tokiwadai 2-18-1, Ube City, Yamaguchi, 755-8611, Japan

b Yamaguchi University, Department of Architectural Design and Engineering, Tokiwadai 2-18-1, Ube City, Yamaguchi, 755-8611, Japan C Yamaguchi Prefectural Industrial Technology Institute, Promotion of Industry-Academia-Government, Asutopia 4-1-1, Ube City, Yamag

Heat transfer coefficient in the moss layer increases 5 times with increase of the wind speed. The same mgnitude, but of decrease, is observed in Bowen ratio.

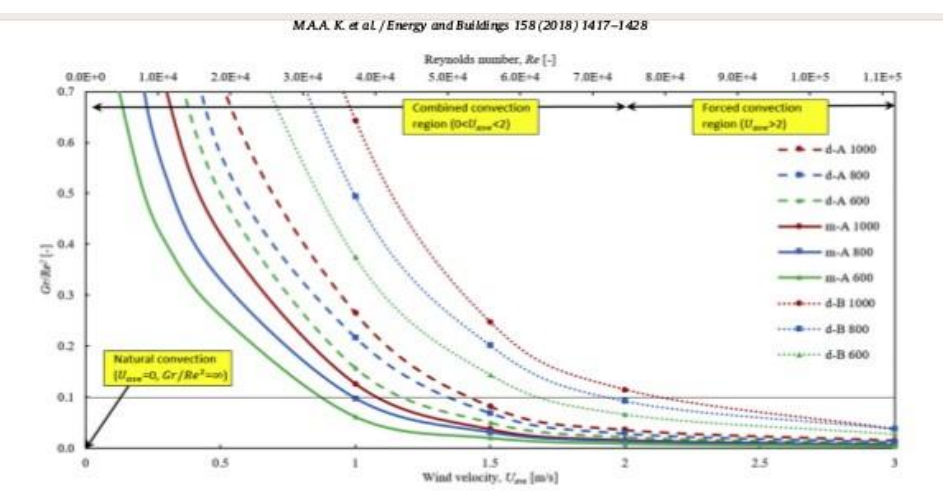


Fig. 5. Ratio of Grashof number and square of Reynolds number. Irradiance strength is denoted by color; the moss-free house is dotted, the moss covered house dashed if dry, solid if moist.

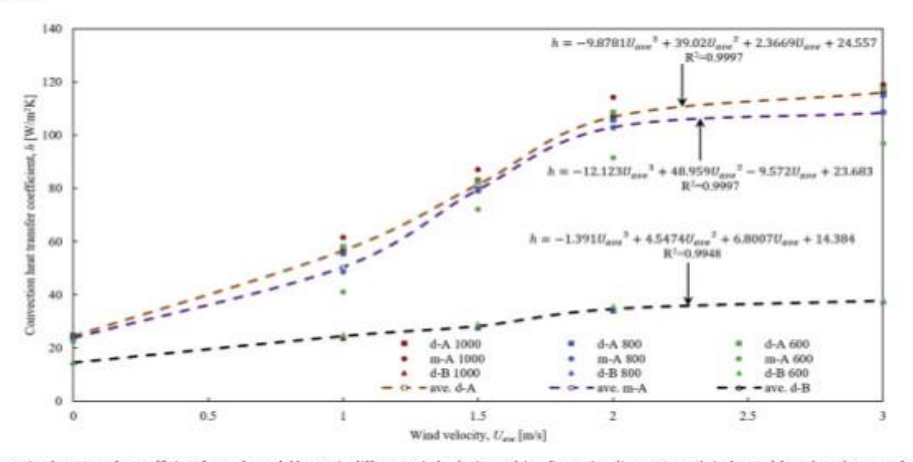


Fig. 6. Convection heat transfer coefficient for each model house in different wind velocity and irradiance. Irradiance strength is denoted by color; the moss-free house is marked by triangle, the moss overed house is marked by square if dry, circle if moist. Average data are presented with dashed lines according to wind velocity for each model house.

Fluid dynamics in porous media?

Convection in Porous Media Third Edition

Donald A. Nield

University of Auckland Auckland, New Zealand

and

Adrian Bejan

Duke University Durham, North Carolina, USA



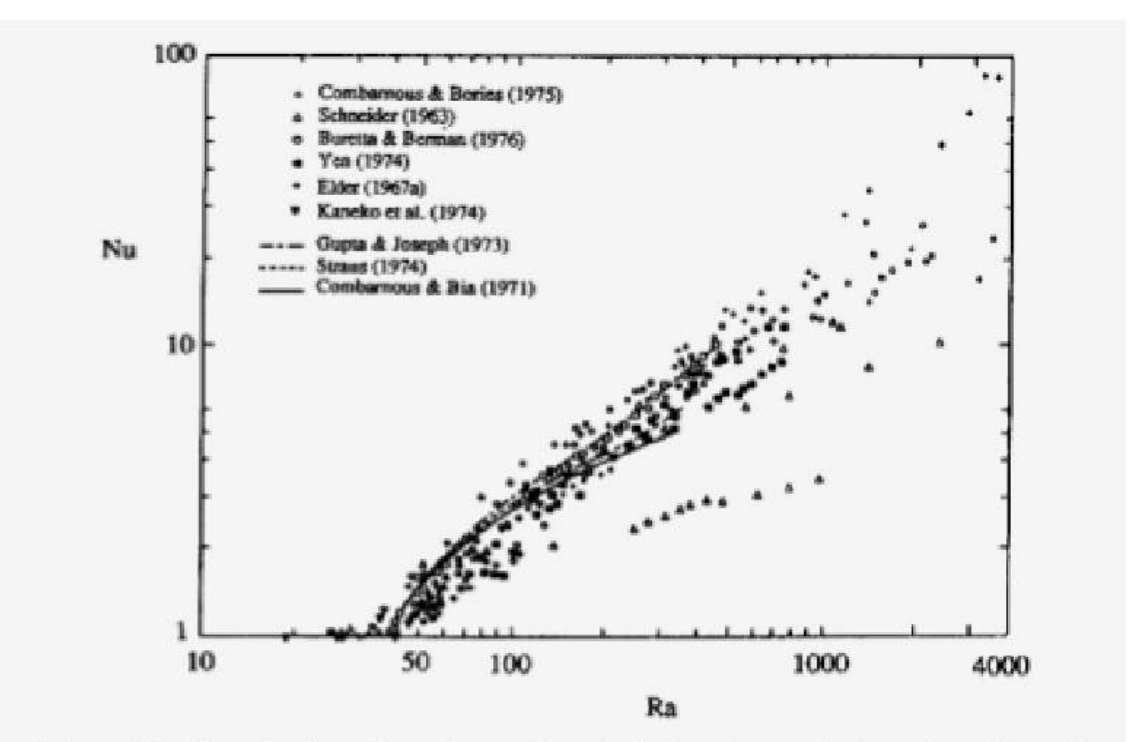


Figure 6.9. Compilation of experimental, analytical, and numerical results of Nusselt number versus Rayleigh number for convective heattransfer in a horizontal layer heated from below (Cheng, 1978, with permission from Academic Press).

Numerous analytical and experimental results for free and forced convection in porous media from literature are available.

A plan for targeted experiments

Nadym neighourhood



Objective: validation of new models for roughness and heat transfer in mosses

Tentative plan of measurements:

- Temperature, humidity, wind speed at ≥ 2 levels in surface air layer
- eddy covariance measurements of heat and moisture fluxes
- radiation fluxes
- surface temperature and soil temperature at different depths
- heat flux and temperature measurements inside moss layer

